



HILTI

HILTI HAS-U A4 with HILTI HIT Injection System

ETA-23/0277 (08.02.2024)



English	2-16
Deutsch	17-31
Polski	32-46

Approval body for construction products
and types of construction

Bautechnisches Prüfamt

An institution established by the Federal and
Laender Governments

★ ★ ★
★ Designated
according to
Article 29 of Regula-
tion (EU) No 305/2011
and member of EOTA
(European Organi-
sation for Technical
Assessment)
★ ★ ★
★ ★

European Technical Assessment

ETA-23/0277
of 8 February 2024

English translation prepared by DIBt - Original version in German language

General Part

Technical Assessment Body issuing the
European Technical Assessment:

Trade name of the construction product

Product family
to which the construction product belongs

Manufacturer

Manufacturing plant

This European Technical Assessment
contains

This European Technical Assessment is
issued in accordance with Regulation (EU)
No 305/2011, on the basis of

Deutsches Institut für Bautechnik

Hilti injection system HIT-HY 200-A V3, HIT-HY 200-R V3,
HIT RE 500 V4 and mortar capsule HVU2 with HAS-U

Post-installed fasteners in concrete under fatigue cyclic
loading

Hilti Aktiengesellschaft
Feldkircherstrasse 100
9494 SCHAAN
FÜRSTENTUM LIECHTENSTEIN

Hilti Plants

15 pages including 3 annexes which form an integral part
of this assessment

EAD 330250-01-0601, Edition 10/2023

The European Technical Assessment is issued by the Technical Assessment Body in its official language. Translations of this European Technical Assessment in other languages shall fully correspond to the original issued document and shall be identified as such.

Communication of this European Technical Assessment, including transmission by electronic means, shall be in full. However, partial reproduction may only be made with the written consent of the issuing Technical Assessment Body. Any partial reproduction shall be identified as such.

This European Technical Assessment may be withdrawn by the issuing Technical Assessment Body, in particular pursuant to information by the Commission in accordance with Article 25(3) of Regulation (EU) No 305/2011.

Specific Part**1 Technical description of the product**

The Hilti injection system HIT-HY 200-A V3, HIT-HY 200-R V3, HIT RE 500 V4 and mortar capsule HVU2 with HAS-U is a bonded fasteners consisting of a cartridge with injection mortar Hilti HIT 200-A V3 or Hilti HIT 200-R V3 or HIT RE 500 V4 or mortar capsule HVU2 and steel element HAS-U A4 with lock nut, nut, spherical washer and Hilti sealing washer or a steel element HAS-U A4 with lock nut, nut and washer.

The load transfer is achieved by the bond between the steel element, the bonding mortar and the concrete.

The product description is given in Annex A.

2 Specification of the intended use in accordance with the applicable European Assessment Document

The performances given in Section 3 are only valid if the anchor is used in compliance with the specifications and conditions given in Annex B.

The verifications and assessment methods on which this European Technical Assessment is based lead to the assumption of a working life of the anchor of at least 50 years. The indications given on the working life cannot be interpreted as a guarantee given by the producer, but are to be regarded only as a means for choosing the right products in relation to the expected economically reasonable working life of the works.

3 Performance of the product and references to the methods used for its assessment**3.1 Mechanical resistance and stability (BWR 1)**

Essential characteristic (Assessment method C: Linearized function)	Performance
Characteristic fatigue resistance under cyclic tension loading	
Characteristic steel fatigue resistance $\Delta N_{Rk,s,0,n}$ ($n = 1$ to $n = \infty$)	
Characteristic concrete cone and splitting fatigue resistance $\Delta N_{Rk,c,0,n}$ $\Delta N_{Rk,sp,0,n}$ ($n = 1$ to $n = \infty$)	See Annex C1 and C3
Characteristic combined pull-out /concrete cone fatigue resistance $\Delta \tau_{Rk,p,0,n}$ ($n = 1$ to $n = 10^8$)	
Characteristic fatigue resistance under cyclic shear loading	
Characteristic steel fatigue resistance $\Delta V_{Rk,s,0,n}$ ($n = 1$ to $n = \infty$)	
Characteristic concrete edge fatigue resistance $\Delta V_{Rk,c,0,n}$ ($n = 1$ to $n = \infty$)	See Annex C2 and C3
Characteristic concrete pry out fatigue resistance $\Delta V_{Rk,cp,0,n}$ ($n = 1$ to $n = \infty$)	

European Technical Assessment**ETA-23/0277**

English translation prepared by DIBt

Page 4 of 15 | 8 February 2024

Essential characteristic (Assessment method C: Linearized function)	Performance
Characteristic fatigue resistance under cyclic combined tension and shear loading	
Characteristic steel fatigue resistance a_s ($n = 1$ to $n = \infty$)	See Annex C2 and C3
Load transfer factor for cyclic tension and shear loading	
Load transfer factor ψ_{FN} , ψ_{FV}	See Annex C1 to C3

4 Assessment and verification of constancy of performance (AVCP) system applied, with reference to its legal base

In accordance with European Assessment Document No. 330250-01-0601, the applicable European legal act is: [96/582/EC].

The system to be applied is: 1

5 Technical details necessary for the implementation of the AVCP system, as provided for in the applicable European Assessment Document

Technical details necessary for the implementation of the AVCP system are laid down in the control plan deposited with Deutsches Institut für Bautechnik.

European Technical Assessment

ETA-23/0277

English translation prepared by DIBt

Page 5 of 15 | 8 February 2024

The following standards and documents are referred to in this European Technical Assessment:

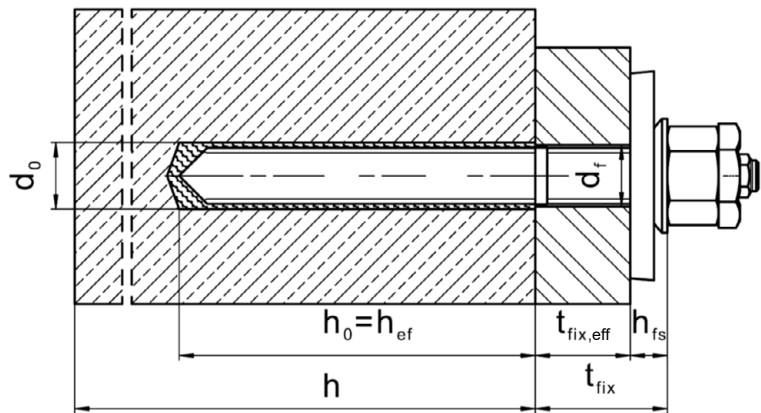
- EN 1993-1-4:2006 + A1:2015 Eurocode 3: Design of steel structures - Part 1-4: General rules - Supplementary rules for stainless steels
- EN 10088-1:2014 Stainless steels - Part 1: List of stainless steels
- EN 206:2013 + A2:2021 Concrete - Specification, performance, production and conformity
- EN 1992-4:2018 Eurocode 2: Design of concrete structures - Part 4: Design of fastenings for use in concrete
- EOTA TR 061 Design Method for fasteners in concrete under fatigue cyclic loading, August 2023
- ETA-16/0515 European Technical Assessment for HVU2, 14 September 2023
- ETA-19/0601 European Technical Assessment for Injection System Hilti HIT-HY 200-A V3 and HIT-HY 200-R V3, 29 January 2024
- ETA-20/0541 European Technical Assessment for Injection system Hilti HIT-RE 500 V4, 9 June 2023

Issued in Berlin on 8 February 2024 by Deutsches Institut für Bautechnik

Dipl.-Ing. Beatrix Wittstock
Head of Section

beglaubigt:
Stiller

Installed condition



Hilti injection system HIT-HY 200-A V3, HIT-HY 200-R V3, HIT RE 500 V4 and mortar capsule HVU2 with HAS-U

Product description
Installed condition

Annex A1

Product description: Mortar capsule, injection mortar, fastener, and filling set

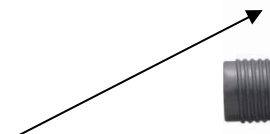
Adhesive anchor capsule HVU2 M8 to M24: resin and hardener with aggregate

Marking:  HVU2 M ...
Expiry date mm/yyyy



Product name: "HVU2"

Injection mortar Hilti HIT-HY 200-A V3 and Hilti HIT-HY 200-R V3: hybrid system with aggregate 330 ml and 500 ml

Marking:  HILTI HIT
Production number and production line
Expiry date mm/yyyy



Product name: "Hilti HIT-HY 200-A V3"



Product name: "Hilti HIT-HY 200-R V3"

Injection mortar Hilti HIT-RE 500 V4: epoxy resin system with aggregate 330 ml, 500 ml and 1400 ml

Marking:  HILTI HIT
Production number and production line
Expiry date mm/yyyy



Product name: "Hilti HIT-RE 500 V4"

Static mixer Hilti HIT-RE-M

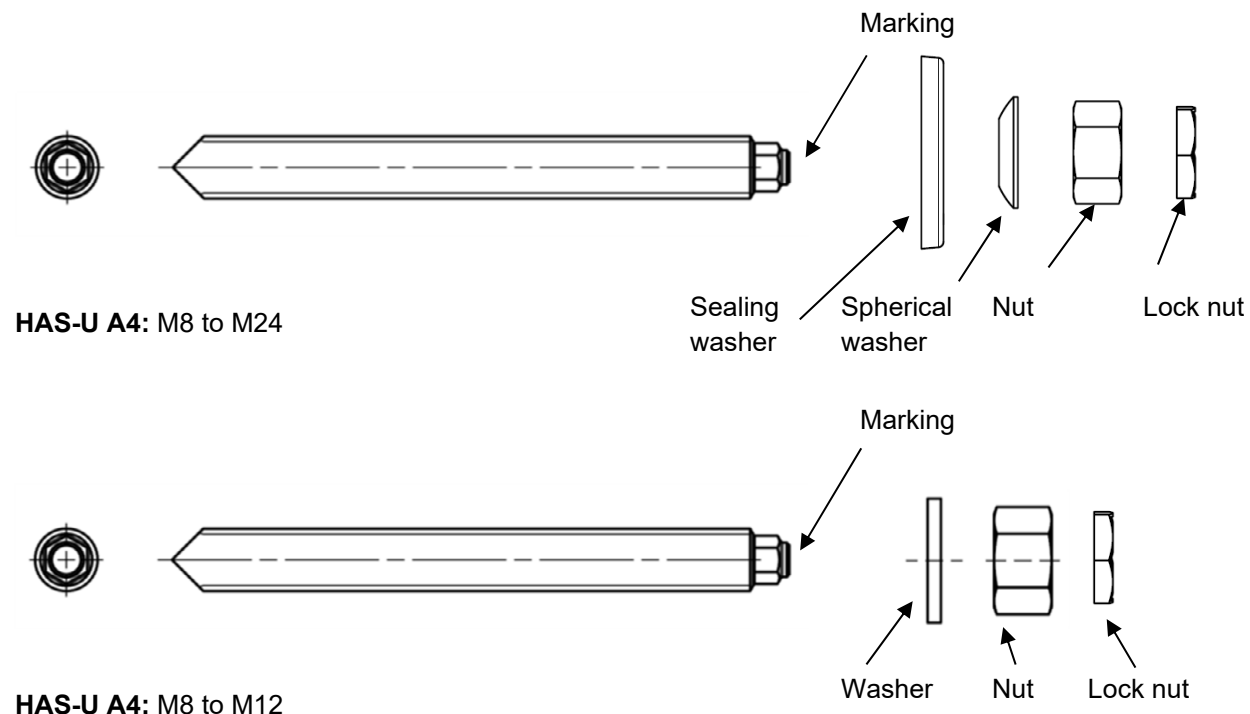


Hilti injection system HIT-HY 200-A V3, HIT-HY 200-R V3, HIT RE 500 V4 and mortar capsule HVU2 with HAS-U

Product description
Mortar capsule and injection mortar

Annex A2

Steel element

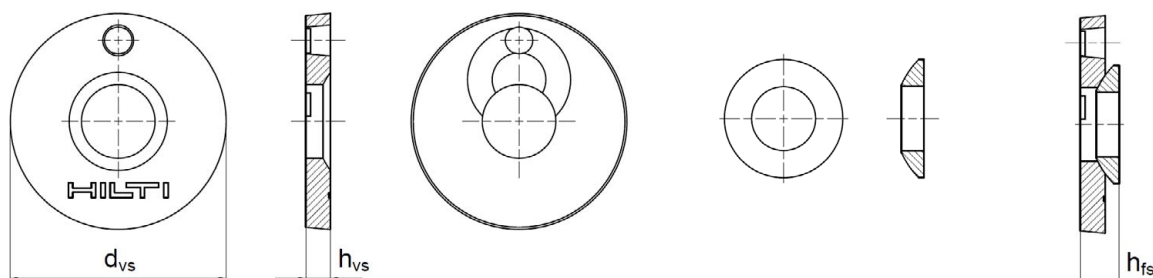


Hilti Filling Set to fill the annular gap between steel element and fixture.

Sealing washer

Spherical washer

Filling set



Hilti Filling Set	M8	M10	M12	M16	M20	M24
Diameter of sealing washer d_{vs} [mm]	38	42	44	52	60	70
Thickness of sealing washer h_{vs} [mm]		5			6	
Thickness of Hilti Filling Set h_{fs} [mm]	8	9	10	11	13	15

Hilti injection system HIT-HY 200-A V3, HIT-HY 200-R V3, HIT RE 500 V4 and mortar capsule HVU2 with HAS-U

Product description
Steel element and Hilti Filling Set

Annex A3

Table A1: Materials

Steel elements made of stainless steel corrosion resistance class (CRC) III according EN 1993-1-4	
HAS-U A4	Strength class 70, $f_{uk} = 700 \text{ N/mm}^2$, $f_{yk} = 450 \text{ N/mm}^2$, Elongation at fracture ($l_0=5d$) > 12% ductile.
Nut	Strength class 70, $f_{uk} = 700 \text{ N/mm}^2$, $f_{yk} = 450 \text{ N/mm}^2$; Stainless steel 1.4401, 1.4404, 1.4578, 1.4571, 1.4439, 1.4362 EN 10088-1
Washer	Stainless steel EN 10088-1
Lock nut	Stainless steel EN 10088-1
Hilti Filling Set A4	Filling washer: Stainless steel EN 10088-1 Spherical washer: Stainless steel EN 10088-1 Lock nut: Stainless steel EN 10088-1

Hilti injection system HIT-HY 200-A V3, HIT-HY 200-R V3, HIT RE 500 V4 and mortar capsule HVU2 with HAS-U

Product description
Materials

Annex A4

Specifications of intended use

Anchorage subject to:

- Fatigue cycling load for size M8 to M24.
Note: static and quasi-static load according to ETA-16/0515 for HVU2, ETA-19/0601 for HIT-HY 200-A V3 and HIT-HY 200-R V3 as well as ETA-20/0541 for HIT-RE 500 V4.

Base material:

- Compacted reinforced or unreinforced normal weight concrete without fibres according to EN 206.
- Strength classes C20/25 to C50/60 according to EN 206.
- Cracked and uncracked concrete.

Temperature in the base material:

at installation and in-service:

See Annex B of the relevant ETA for the corresponding Hilti capsule and injection mortars.

Note: max. short term temperature +80 °C for Hilti capsule and injection mortars.

Use conditions (Environmental conditions):

- For all conditions according EN 1993-1-4 corresponding to corrosion resistance classes Annex A4 Table A1 (stainless steel).

Design:

- Anchorages are designed under the responsibility of an engineer experienced in anchorages and concrete work.
- Verifiable calculation notes and drawings are prepared taking account of the loads to be anchored. The position of the fastener is indicated on the design drawings (e. g. position of the fastener relative to reinforcement or to supports, etc.).
- Anchorages under fatigue cycling load are designed in accordance with:
EN 1992-4 or EOTA Technical Report TR 061.

Installation:

See Annex B of the relevant ETA for the corresponding Hilti capsule and injection mortars.

Table B1: Specifications of intended use – drilling techniques

Mortar capsule and injection mortar	HVU2	HIT-HY 200-A V3 HIT-HY 200-R V3	HIT-RE 500 V4
Hammer drilling	✓	✓	✓
Hammer drilling with hollow drill bit TE-CD or TE-YD	✓ ≥ M12	✓ ≥ M10	✓ ≥ M10
Diamond coring	✓	-	✓ uncracked concrete only
Diamond coring with roughening with Hilti Roughening tool TE-YRT	-	✓ ≥ M16	✓ ≥ M16

Hilti injection system HIT-HY 200-A V3, HIT-HY 200-R V3, HIT RE 500 V4 and mortar capsule HVU2 with HAS-U

Intended use
Specifications

Annex B1

Table B2: Specifications of intended use – installation options

Installation option	Annular gap filled Hilti filling set ¹⁾ (pre-setting or through-setting)	Annular gap not filled	
		Hilti filling set	Washer, nut, lock nut
all load direction	✓ M8 to M24	-	-
tension load only	-	✓ M8 to M24	✓ M8 to M12

¹⁾ Filling the gap between steel element and fixture using Hilti filling set with injection mortar HIT-HY ... or HIT-RE

Table B3: Installation parameters¹⁾

HIT-HY 200-A V3, HIT-HY 200-R V3, HIT-RE 500 V4 and HVU2 with HAS-U A4...		M8	M10	M12	M16	M20	M24
Steel stress cross section	A _s	[mm ²]	36,6	58	84,3	157	245
Pre-setting:							
Maximum diameter of clearance hole in the fixture	d _f	[mm]	9	12	14	18	22
Through-setting:							
Maximum diameter of clearance hole in the fixture	d _f	[mm]	11	14	16	20	30
Minimum fixture thickness	t _{fix,min} ²⁾	[mm]	8	10	12	16	20
Thickness of Hilti Filling Set	h _{fs}	[mm]	8	9	10	11	13
Effective fixture thickness with Hilti Filling Set	t _{fix,eff}	[mm]	$t_{fix,eff} = t_{fix} - h_{fs} \geq t_{fix,min}$				

1) See Annex B of the relevant ETA for the corresponding Hilti capsule and injection mortars.

2) The minimum fixture thickness t_{fix,min} can be replaced by a reduced minimum fixture thickness t_{fix,min,red} if a reduced fatigue resistance in transverse direction ΔV_{Rk,s,0,red} is considered:

$$t_{fix,min,red} = (0,5 + 0,5 \cdot \Delta V_{Rk,s,0,(n,\infty),red} / \Delta V_{Rk,s}) \cdot t_{fix,min}$$

with $\Delta V_{Rk,s} = \Delta V_{Rk,s,0,n}$ for design method I (Table C2)

$\Delta V_{Rk,s} = \Delta V_{Rk,s,0,\infty}$ for design method II (Table C5)

Hilti injection system HIT-HY 200-A V3, HIT-HY 200-R V3, HIT RE 500 V4 and mortar capsule HVU2 with HAS-U

Intended use
Installation parameters

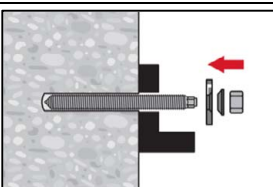
Annex B2

Installation instruction

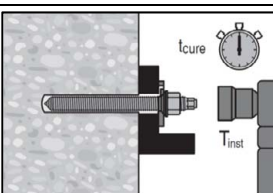
See Annex B of the relevant ETA for the corresponding Hilti capsule and injection mortars.

Installation of Hilti Filling Set to fill the annular gap between fastener and fixture.

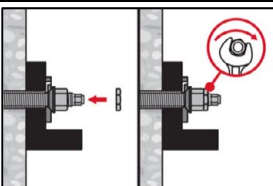
Note: if the fastener is loaded in axial direction the gap does not have to be filled.



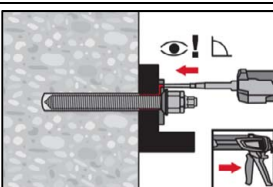
Use Hilti filling set with standard nut. Observe the correct orientation of filling washer and spherical washer.



The applied installation torque shall not exceed the values max. T_{inst} given in Annex B of the relevant ETA for the corresponding Hilti capsule and injection mortars.

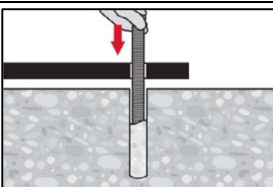


Installation of lock nut. Tighten with a $\frac{1}{4}$ to $\frac{1}{2}$ turn.

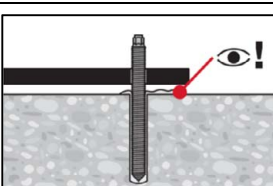


Fill the annular gap between the anchor rod and fixture with 1-3 strokes of a Hilti injection mortar HIT-HY ... or HIT-RE Follow the installation instructions supplied with the Hilti injection mortar. After required curing time t_{cure} (see Annex B of the relevant ETA for the corresponding Hilti capsule and injection mortars) the anchor can be loaded.

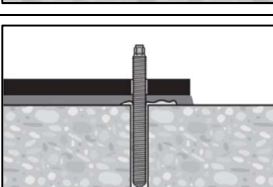
Setting the fastener with clearance between concrete and anchor plate (only if the fastener is loaded in axial direction)



Set the fastener to the required embedment depth before working time t_{work} (see Annex B of the relevant ETA for the corresponding Hilti capsule and injection mortars) has elapsed.



Check if mortar excess from the borehole.
The annular gap in the fixture does not have to be filled.



After required curing time t_{cure} (see Annex B of the relevant ETA for the corresponding Hilti capsule and injection mortars) backfill the anchor plate.

Hilti injection system HIT-HY 200-A V3, HIT-HY 200-R V3, HIT RE 500 V4 and mortar capsule HVU2 with HAS-U

Intended use
Installation instructions

Annex B3

**Table C1: Essential characteristics under tension fatigue load in concrete
(Design method I acc. to TR 061)**

HIT-HY 200-A V3, HIT-HY 200-R V3, HIT-RE 500 V4 and HVU2 with HAS-U A4...	M8	M10	M12	M16	M20	M24
Steel failure						
Characteristic steel resistance [N/mm ²] $\Delta\sigma_{Rk,s,N,0,n}$						
n ≤ 10 ⁴	207,0		253,5			
10 ⁴ ≤ n ≤ 5 · 10 ⁶	10 ^{(-0,194 · log(n)+3,092)}		10 ^{(-0,148 · log(n)+2,996)}			
5 · 10 ⁶ < n ≤ 10 ⁸	10 ^{(-0,089 · log(n)+2,387)}		10 ^{(-0,069 · log(n)+2,466)}			
n > 10 ⁸	47,3		82,0			
Characteristic steel resistance [kN] $\Delta N_{Rk,s,0,n} = A_s \cdot \Delta\sigma_{Rk,s,N,0,n}$						
n	≤ 10 ⁴	7,6	12,0	21,4	39,8	62,1
n	2 · 10 ⁵	4,2	6,7	13,7	25,5	39,9
n	10 ⁶	3,1	4,9	10,8	20,1	31,4
n	2 · 10 ⁶	2,7	4,3	9,8	18,2	28,4
n	5 · 10 ⁶	2,3	3,6	8,5	15,9	24,8
n	≥ 10 ⁸	1,7	2,7	6,9	12,9	20,1
Combined pull-out and concrete cone failure in uncracked and cracked concrete						
Characteristic combined pull-out/concrete cone resistance [N/mm ²] $\Delta\tau_{Rk,p(ucr,cr),0,n} = \eta_{k,p,N,fat,n} \cdot \tau_{Rk,(ucr,cr)}$ ¹⁾						
Reduction factor [-] $\eta_{k,p,N,fat,n} = \max (1,2 \cdot n^{-0,08}; 0,4)$ with n ≤ 10 ⁸						
n	≤ 10 ⁴		0,57			
n	2 · 10 ⁵		0,45			
n	10 ⁶			0,40		
n	≥ 10 ⁸					
Concrete cone and splitting failure in uncracked and cracked concrete						
Characteristic concrete cone and splitting resistance [kN] $\Delta N_{Rk,(c,sp),0,n} = \eta_{k,(c,p),N,fat,n} \cdot N_{Rk,(c,sp)}$ ²⁾						
Reduction factor [-] $\eta_{k,(c,sp),N,fat,n} = \max (1,1 \cdot n^{-0,055}; 0,5)$						
n	≤ 10 ⁴		0,66			
n	2 · 10 ⁵		0,58			
n	10 ⁶		0,51			
n	≥ 2 · 10 ⁶		0,50			
Load transfer factor for fastener group ψ_{FN} [-]			0,50			

¹⁾ $\tau_{Rk,(ucr,cr)}$ see Annex C of the relevant ETA for the corresponding Hilti capsule and injection mortars.

²⁾ $N_{Rk,(c,sp)}$ see Annex C of the relevant ETA for the corresponding Hilti capsule and injection mortars and EN 1992-4.

Hilti injection system HIT-HY 200-A V3, HIT-HY 200-R V3, HIT RE 500 V4 and mortar capsule HVU2 with HAS-U

Performances

Essential characteristics under tension fatigue load in concrete
(Design method I acc. to TR 061)

Annex C1

**Table C2: Essential characteristics under shear fatigue load in concrete
(Design method I acc. to TR 061)**

HIT-HY 200-A V3, HIT-HY 200-R V3, HIT-RE 500 V4 and HVU2 with HAS-U A4...	M8	M10	M12	M16	M20	M24
Steel failure without lever arm						
Characteristic steel resistance [N/mm ²]						$\Delta\sigma_{Rk,s,V,0,n}$
n ≤ 10 ⁴						135,2
10 ⁴ ≤ n ≤ 5 · 10 ⁶						10 ^{(-0,144 · log(n)+2,707)}
5 · 10 ⁶ < n ≤ 10 ⁸						10 ^{(-0,067 · log(n)+2,192)}
n > 10 ⁸						45,3
Characteristic steel resistance [kN]						$\Delta V_{Rk,s,0,n} = A_s \cdot \Delta\sigma_{Rk,s,V,0,n}$
n	≤ 10 ⁴	4,9	7,8	11,4	21,2	33,1
n	2 · 10 ⁵	3,2	5,1	7,4	13,8	21,5
n	10 ⁶	2,5	4,0	5,9	10,9	17,1
n	2 · 10 ⁶	2,3	3,7	5,3	9,9	15,4
n	5 · 10 ⁶	2,0	3,2	4,7	8,7	13,5
n	≥ 10 ⁸	1,7	2,6	3,8	7,1	11,1
Concrete pry-out failure in uncracked and cracked concrete						
Characteristic concrete pry-out resistance [kN]						$\Delta V_{Rk,cp,0,n} = \eta_{k,cp,V,fat,n} \cdot V_{Rk,cp}$ ¹⁾
Reduction factor [-]						$\eta_{k,cp,V,fat,n} = \max(1,2 \cdot n^{-0,08}; 0,5)$
n	≤ 10 ⁴					0,57
n	≥ 2 · 10 ⁵					0,50
Concrete edge failure in uncracked and cracked concrete						
Effective length of fastener l _f [mm]						min (h _{ef} , 12 · d _{nom})
Effective outside diameter d _{nom} [mm]		8	10	12	16	20
Characteristic concrete edge fatigue resistance [kN]						$\Delta V_{Rk,c,0,n} = \eta_{k,c,V,fat,n} \cdot V_{Rk,c}$ ¹⁾
Reduction factor [-]						$\eta_{k,c,V,fat,n} = \max(1,2 \cdot n^{-0,08}; 0,5)$
n	≤ 10 ⁴					0,57
n	≥ 2 · 10 ⁵					0,50
Load transfer factor for fastener group ψ _{FV}						0,50

¹⁾ V_{Rk,(cp,c)} see Annex C of the relevant ETA for the corresponding Hilti capsule and injection mortars and EN 1992-4.

**Table C3: Essential characteristics for combined fatigue load in concrete
(Design method I acc. to TR 061)**

HIT-HY 200-A V3, HIT-HY 200-R V3, HIT-RE 500 V4 and HVU2 with HAS-U A4...	M8	M10	M12	M16	M20	M24
Exponent for combined fatigue load $\alpha_s = \alpha_{sn}$ [-]						0,50
α _c [-]						1,5

Hilti injection system HIT-HY 200-A V3, HIT-HY 200-R V3, HIT RE 500 V4 and mortar capsule HVU2 with HAS-U

Performances

Essential characteristics under shear and combined fatigue load in concrete
(Design method I acc. to TR 061)

Annex C2

**Table C4: Essential characteristics under tension fatigue load in concrete
(Design method II acc. to TR 061)**

HIT-HY 200-A V3, HIT-HY 200-R V3, HIT-RE 500 V4 and HVU2 with HAS-U A4...	M8	M10	M12	M16	M20	M24
Steel failure						
Characteristic steel resistance $\Delta N_{Rk,s,0,\infty}$ [kN]	1,7	2,7	6,9	12,9	20,1	29,0
Combined pull-out and concrete failure in uncracked and cracked concrete						
Characteristic combined pull-out/concrete cone resistance [N/mm ²]	$\Delta \tau_{Rk,p(ucr,cr),0,10^8} = 0,4 \cdot \tau_{Rk,(ucr,cr)}^{1)}$					
Concrete cone and splitting failure in uncracked and cracked concrete						
Characteristic concrete cone and splitting resistance [kN]	$\Delta N_{Rk,(c,sp),0,\infty} = 0,5 \cdot N_{Rk,(c,sp)}^{2)}$					
Load transfer factor for fastener group ψ_{FN} [-]	0,50					

1) $\tau_{Rk,(ucr,cr)}$ see Annex C of the relevant ETA for the corresponding Hilti capsule and injection mortars.

2) $N_{Rk,(c,sp)}$ see Annex C of the relevant ETA for the corresponding Hilti capsule and injection mortars and EN 1992-4.

**Table C5: Essential characteristics under shear fatigue load in concrete
(Design method II acc. to TR 061)**

HIT-HY 200-A V3, HIT-HY 200-R V3, HIT-RE 500 V4 and HVU2 with HAS-U A4...	M8	M10	M12	M16	M20	M24
Steel failure without lever arm						
Characteristic resistance $\Delta V_{Rk,s,0,\infty}$ [kN]	1,7	2,6	3,8	7,1	11,1	16,0
Concrete pry-out failure in uncracked and cracked concrete						
Characteristic concrete pry-out resistance [kN]	$\Delta V_{Rk,cp,0,\infty} = 0,5 \cdot V_{Rk,cp}^{1)}$					
Concrete edge failure in uncracked and cracked concrete						
Effective length of fastener l_f [mm]	min (h_{ef} , $12 \cdot d_{nom}$)					
Effective outside diameter of fastener d_{nom} [mm]	8	10	12	16	20	24
Characteristic concrete edge fatigue resistance [kN]	$\Delta V_{Rk,c,0,\infty} = 0,5 \cdot V_{Rk,c}^{1)}$					
Load transfer factor for fastener group ψ_{FV} [-]	0,50					

1) $V_{Rk,(cp,c)}$ see Annex C of the relevant ETA for the corresponding Hilti capsule and injection mortars and EN 1992-4.

**Table C6: Essential characteristics for combined fatigue load in concrete
(Design method II acc. to TR 061)**

HIT-HY 200-A V3, HIT-HY 200-R V3, HIT-RE 500 V4 and HVU2 with HAS-U A4...	M8	M10	M12	M16	M20	M24
Exponent for combined fatigue load $\alpha_s = \alpha_{sn}$ [-]	0,50			0,70		
α_c [-]	1,5					

Hilti injection system HIT-HY 200-A V3, HIT-HY 200-R V3, HIT RE 500 V4 and mortar capsule HVU2 with HAS-U

Performances

Essential characteristics under tension, shear and combined fatigue load in concrete
(Design method II acc. to TR 061)

Annex C3



Europäische Technische Bewertung

ETA-23/0277
vom 8. Februar 2024

Allgemeiner Teil

Technische Bewertungsstelle, die
die Europäische Technische Bewertung
ausstellt

Handelsname des Bauprodukts

Produktfamilie,
zu der das Bauprodukt gehört

Hersteller

Herstellungsbetrieb

Diese Europäische Technische Bewertung
enthält

Diese Europäische Technische Bewertung
wird ausgestellt gemäß der Verordnung (EU)
Nr. 305/2011, auf der Grundlage von

Deutsches Institut für Bautechnik

Hilti Injektionssystem HIT-HY 200-A V3,
HIT-HY 200-R V3, HIT RE 500 V4 und Mörtelpatrone
HVU2 mit HAS-U

Nachträglich eingebaute Befestigungsmittel in Beton
unter ermüdungsrelevanter zyklischer Beanspruchung

Hilti Aktiengesellschaft
Feldkircherstrasse 100
9494 SCHAAN
FÜRSTENTUM LIECHTENSTEIN

Hilti Werke

15 Seiten, davon 3 Anhänge, die fester Bestandteil dieser
Bewertung sind.

EAD 330250-01-0601, Edition 10/2023

Die Europäische Technische Bewertung wird von der Technischen Bewertungsstelle in ihrer Amtssprache ausgestellt. Übersetzungen dieser Europäischen Technischen Bewertung in andere Sprachen müssen dem Original vollständig entsprechen und müssen als solche gekennzeichnet sein.

Diese Europäische Technische Bewertung darf, auch bei elektronischer Übermittlung, nur vollständig und ungekürzt wiedergegeben werden. Nur mit schriftlicher Zustimmung der ausstellenden Technischen Bewertungsstelle kann eine teilweise Wiedergabe erfolgen. Jede teilweise Wiedergabe ist als solche zu kennzeichnen.

Die ausstellende Technische Bewertungsstelle kann diese Europäische Technische Bewertung widerrufen, insbesondere nach Unterrichtung durch die Kommission gemäß Artikel 25 Absatz 3 der Verordnung (EU) Nr. 305/2011.

Besonderer Teil

1 Technische Beschreibung des Produkts

Das Hilti Injektionssystem Hilti HIT-HY 200-A V3, HIT-HY 200-R V3, HIT RE 500 V4 und Mörtelpatrone HVU2 mit HAS-U ist ein Verbunddübel, bestehend aus einer Mörtelkartusche Hilti HIT 200-A V3 oder Hilti HIT 200-R V3 oder HIT RE 500 V4 oder Mörtelpatrone HVU2 und dem Stahlteil HAS-U A4 mit Sicherungsmutter, Mutter, Kugelscheibe und Hilti Verschlusscheibe oder dem Stahlteil HAS-U A4 mit Sicherungsmutter, Mutter und Scheibe.

Die Kraftübertragung erfolgt über den Verbund zwischen Stahlteil, dem Verbundmörtel und Beton.

Die Produktbeschreibung ist in Anhang A angegeben.

2 Spezifizierung des Verwendungszwecks gemäß dem anwendbaren Europäischen Bewertungsdokument

Von den Leistungen in Abschnitt 3 kann nur ausgegangen werden, wenn der Dübel entsprechend den Angaben und unter den Randbedingungen nach Anhang B verwendet wird.

Die Prüf- und Bewertungsmethoden, die dieser Europäischen Technischen Bewertung zu Grunde liegen, führen zur Annahme einer Nutzungsdauer des DüBELS von mindestens 50 Jahren. Die Angaben zur Nutzungsdauer können nicht als Garantie des Herstellers ausgelegt werden, sondern sind lediglich ein Hilfsmittel zur Auswahl der richtigen Produkte im Hinblick auf die erwartete wirtschaftlich angemessene Nutzungsdauer des Bauwerks.

3 Leistung des Produkts und Angabe der Methoden ihrer Bewertung

3.1 Mechanische Festigkeit und Standsicherheit (BWR 1)

Wesentliches Merkmal (Bewertungsmethode C: Linearisierte Funktion)	Leistung
Charakteristischer Ermüdungswiderstand unter zyklischer Zugbeanspruchung	
Charakteristischer Ermüdungswiderstand gegen Stahlbruch $\Delta N_{Rk,s,0,n}$ ($n = 1$ bis $n = \infty$)	
Charakteristischer Ermüdungswiderstand gegen kegelförmigen Betonausbruch und Spalten $\Delta N_{Rk,c,0,n}$ $\Delta N_{Rk,sp,0,n}$ ($n = 1$ bis $n = \infty$)	Siehe Anhang C1 und C3
Charakteristischer Ermüdungswiderstand gegen kombiniertes Herausziehen / kegelförmigen Betonausbruch $\Delta \tau_{Rk,p,0,n}$ ($n = 1$ to $n = 10^8$)	
Charakteristischer Ermüdungswiderstand unter zyklischer Querbeanspruchung	
Charakteristischer Ermüdungswiderstand gegen Stahlbruch $\Delta V_{Rk,s,0,n}$ ($n = 1$ bis $n = \infty$)	
Charakteristischer Ermüdungswiderstand gegen Betonkantenbruch $\Delta V_{Rk,c,0,n}$ ($n = 1$ bis $n = \infty$)	Siehe Anhang C2 und C3
Charakteristischer Ermüdungswiderstand gegen Betonausbruch auf der lastabgewandten Seite $\Delta V_{Rk,cp,0,n}$ ($n = 1$ bis $n = \infty$)	

Wesentliches Merkmal (Bewertungsmethode C: Linearisierte Funktion)	Leistung
Charakteristischer Ermüdungswiderstand unter kombinierter zyklischer Zug- und Querbeanspruchung	
Charakteristischer Ermüdungswiderstand gegen Stahlbruch a_s ($n = 1$ bis $n = \infty$)	Siehe Anhang C2 und C3
Lastumlagerungsfaktor für zyklische Zug- und Querbeanspruchung	
Lastumlagerungsfaktor ψ_{FN}, ψ_{FV}	Siehe Anhang C1 bis C3

4 Angewandtes System zur Bewertung und Überprüfung der Leistungsbeständigkeit mit der Angabe der Rechtsgrundlage

Gemäß dem Europäischen Bewertungsdokument EAD Nr. 330250-01-0601 gilt folgende Rechtsgrundlage: [96/582/EG].

Folgendes System ist anzuwenden: 1

5 Für die Durchführung des Systems zur Bewertung und Überprüfung der Leistungsbeständigkeit erforderliche technische Einzelheiten gemäß anwendbarem Europäischen Bewertungsdokument

Technische Einzelheiten, die für die Durchführung des Systems zur Bewertung und Überprüfung der Leistungsbeständigkeit notwendig sind, sind Bestandteil des Kontrollplans, der beim Deutschen Institut für Bautechnik hinterlegt ist.

Folgende Normen und Dokumente werden in dieser Europäischen Technischen Bewertung in Bezug genommen:

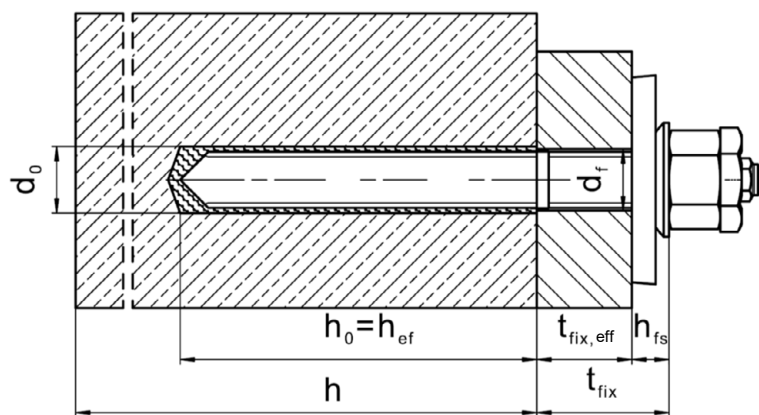
- EN 1993-1-4:2006 + A1:2015 Eurocode 3: Bemessung und Konstruktion von Stahlbauten - Teil 1-4: Allgemeine Bemessungsregeln - Ergänzende Regeln zur Anwendung von nichtrostenden Stählen
- EN 10088-1:2014 Nichtrostende Stähle - Teil 1: Verzeichnis der nichtrostenden Stähle
- EN 206:2013 + A2:2021 Beton - Festlegung, Eigenschaften, Herstellung und Konformität
- EN 1992-4:2018 Eurocode 2 - Bemessung und Konstruktion von Stahlbeton- und Spannbetontragwerken - Teil 4: Bemessung der Verankerung von Befestigungen in Beton
- EOTA TR 061 Design Method for fasteners in concrete under fatigue cyclic loading, August 2023
- ETA-16/0515 Europäische Technische Bewertung für HVU2, 14 September 2023
- ETA-19/0601 Europäische Technische Bewertung für Injektionssystem Hilti HIT-HY 200-A V3 und HIT-HY 200-R V3, 29 Januar 2024
- ETA-20/0541 Europäische Technische Bewertung für Injektionssystem Hilti HIT-RE 500 V4, 9 Juni 2023

Ausgestellt in Berlin am 8. Februar 2024 vom Deutschen Institut für Bautechnik

Dipl.-Ing. Beatrix Wittstock
Referatsleiterin

Beglubigt
Stiller

Einbauzustand



Hilti Injektionssystem HIT-HY 200-A V3, HIT-HY 200-R V3, HIT RE 500 V4 und
Mörtelpatrone HVU2 mit HAS-U

Produktbeschreibung
Einbauzustand

Anhang A1

Produktbeschreibung: Mörtelpatrone, Injektionsmörtel, Stahlelemente und Verfüll-Set

Verbundankerpatrone HVU2 M12 bis M24: Kunstharz und Härter mit Zuschlag

Kennzeichnung:
HVU2 M ...
Verfallsdatum mm/yyyy



Produktnname: „HVU2“

Injektionsmörtel Hilti HIT-HY 200-A V3 und Hilti HIT-HY 200-R V3: Hybridsystem mit Zuschlag
330 ml und 500 ml

Kennzeichnung:
HILTI-HIT
Chargennummer und
Produktionslinie
Verfallsdatum mm/yyyy

Produktname: "Hilti HIT-HY 200-A V3"

Produktname: "Hilti HIT-HY 200-R V3"

Injektionsmörtel Hilti HIT-RE 500 V4: Epoxidharzsystem mit Zuschlag
330 ml, 500 ml und 1400 ml

Kennzeichnung:
HILTI-HIT
Chargennummer und
Produktionslinie
Verfallsdatum mm/yyyy

Produktname: "Hilti HIT-RE 500 V4"

Statikmischer Hilti HIT-RE-M

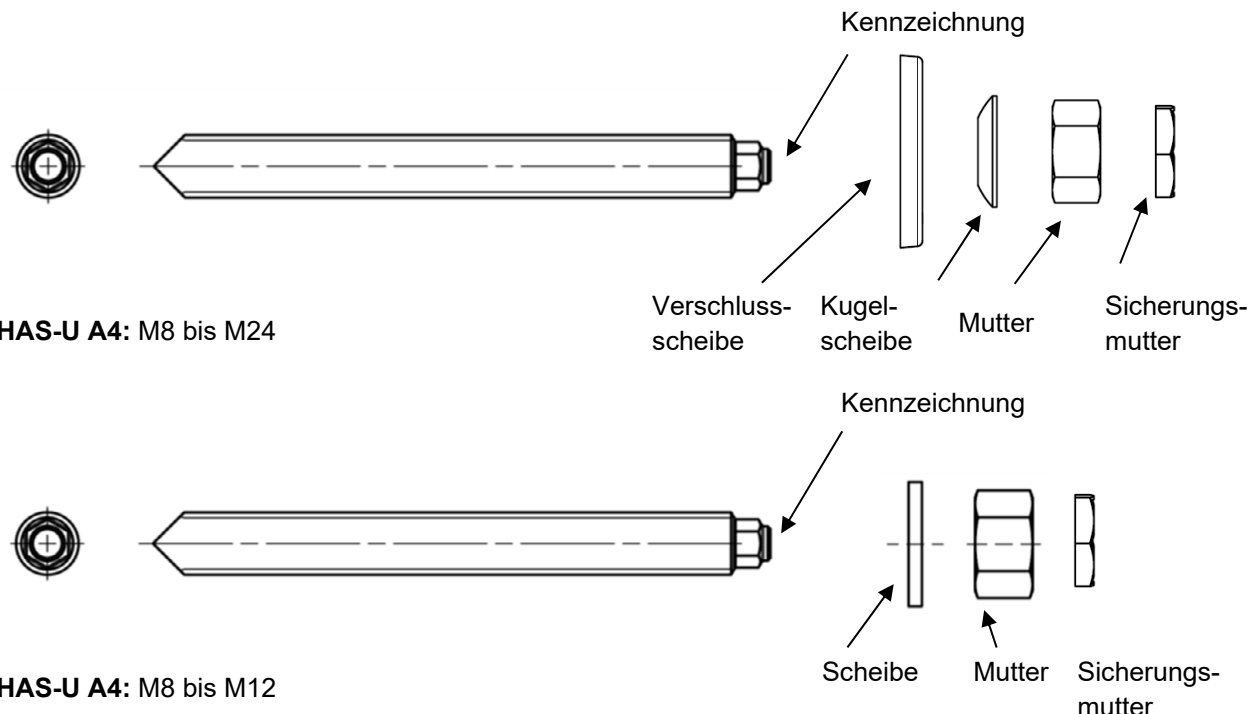


**Hilti Injektionssystem HIT-HY 200-A V3, HIT-HY 200-R V3, HIT RE 500 V4 und
Mörtelpatrone HVU2 mit HAS-U**

Produktbeschreibung
Mörtelpatrone und Injektionsmörtel

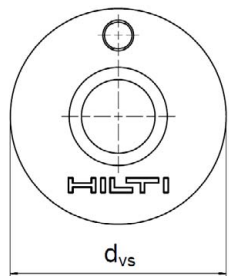
Anhang A2

Stahlelement

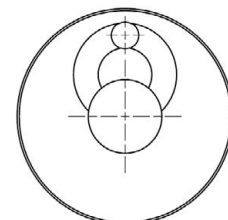


Hilti Verfüll-Set zum Verfüllen des Ringspalts zwischen Stahlelement und Anbauteil

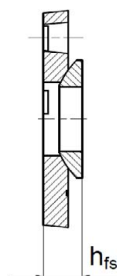
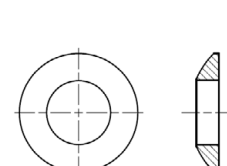
Verschlusssscheibe



Kugelscheibe



Verfüll-Set



Hilti Verfüll-Set	M8	M10	M12	M16	M20	M24
Durchmesser der Verschlusssscheibe	d_{vs} [mm]	38	42	44	52	60
Höhe der Verschlusssscheibe	h_{vs} [mm]		5		6	
Höhe des Verfüll-Sets	h_{fs} [mm]	8	9	10	11	13

Hilti Injektionssystem HIT-HY 200-A V3, HIT-HY 200-R V3, HIT RE 500 V4 und Mörtelpatrone HVU2 mit HAS-U

Produktbeschreibung
Stahlelemente und Hilti Verfüll-Set

Anhang A3

Tabelle A1: Werkstoffe

Stahlemente aus nichtrostendem Stahl der Korrosionsbeständigkeitsklasse (CRC) III gemäß EN 1993-1-4	
HAS-U A4	Festigkeitsklasse 70, $f_{uk} = 700 \text{ N/mm}^2$, $f_{yk} = 450 \text{ N/mm}^2$, Bruchdehnung ($\delta_0=5d$) > 12% duktil.
Mutter	Festigkeitsklasse 70, $f_{uk} = 700 \text{ N/mm}^2$, $f_{yk} = 450 \text{ N/mm}^2$; Nichtrostender Stahl 1.4401, 1.4404, 1.4578, 1.4571, 1.4439, 1.4362 EN 10088-1
Scheibe	Nichtrostender Stahl EN 10088-1
Sicherungsmutter	Nichtrostender Stahl EN 10088-1
Hilti Verfüll-Set A4	Verschlusscheibe: Nichtrostender Stahl EN 10088-1 Kugelscheibe: Nichtrostender Stahl EN 10088-1 Sicherungsmutter: Nichtrostender Stahl EN 10088-1

**Hilti Injektionssystem HIT-HY 200-A V3, HIT-HY 200-R V3, HIT RE 500 V4 und
Mörtelpatrone HVU2 mit HAS-U**

**Produktbeschreibung
Werkstoffe**

Anhang A4

Spezifizierung des Verwendungszwecks

Beanspruchung der Verankerung:

- Ermüdungsbeanspruchung für Größen M8 bis M24.
Anmerkung: statische und quasi-statische Beanspruchung nach ETA-16/0515 für HVU2, ETA-19/0601 für HIT-HY 200-A V3 und HIT-HY 200-R V3 sowie ETA-20/0541 für HIT-RE 500 V4.

Verankerungsgrund:

- Verdichteter bewehrter oder unbewehrter Normalbeton ohne Fasern nach EN 206.
- Festigkeitsklassen C20/25 bis C50/60 nach EN 206.
- Gerissener und ungerissener Beton.

Temperatur im Verankерungsgrund:

Beim Einbau und im Nutzungszustand:

Siehe Anhang B der jeweiligen ETA für die entsprechende Hilti Mörtelpatrone bzw. Injektionsmörtel.
Anmerkung: max. Kurzzeit-Temperatur +80 °C für Hilti Mörtelpatrone bzw. Injektionsmörtel.

Anwendungsbedingungen (Umweltbedingungen):

- Für alle anderen Bedingungen entsprechend EN 1993-1-4
Korrosionsbeständigkeitsklasse nach Anhang A4 Tabelle A1 (nichtrostender Stahl).

Bemessung:

- Die Befestigungen müssen unter der Verantwortung eines auf dem Gebiet der Verankerungen und des Betonbaus erfahrenen Ingenieurs bemessen werden.
- Unter Berücksichtigung der zu verankernden Lasten sind prüfbare Berechnungen und Konstruktionszeichnungen anzufertigen. Auf den Konstruktionszeichnungen ist die Lage des Befestigungselements (z.B. Lage des Befestigungselements zur Bewehrung oder zu den Auflagern usw.) anzugeben.
- Die Bemessung der Verankerungen unter Ermüdungsbeanspruchung erfolgt in Übereinstimmung mit: EN 1992-4 oder EOTA Technical Report TR 061.

Installation:

Siehe Anhang B der jeweiligen ETA für die entsprechende Hilti Mörtelpatrone bzw. Injektionsmörtel.

Tabelle B1: Spezifikationen des Verwendungszweckes – Bohrverfahren

Mörtelpatrone und Injektionsmörtel	HVU2	HIT-HY 200-A V3 HIT-HY 200-R V3	HIT-RE 500 V4
Hammerbohren	✓	✓	✓
Hammerbohren mit Hohlbohrer TE-CD oder TE-YD	✓ ≥ M12	✓ ≥ M10	✓ ≥ M10
Diamantbohren	✓	-	✓ nur ungerissener Beton
Diamantbohren mit Aufrauhwerkzeug TE-YRT	-	✓ ≥ M16	✓ ≥ M16

**Hilti Injektionssystem HIT-HY 200-A V3, HIT-HY 200-R V3, HIT RE 500 V4 und
Mörtelpatrone HVU2 mit HAS-U**

Verwendungszweck
Spezifizierung

Anhang B1

Tabelle B2: Spezifikationen des Verwendungszweckes – Installationsarten

Installationsart	Ringspalt verfüllt		Ringspalt nicht verfüllt	
	Hilti Verfüll-Set ¹⁾ (Vorsteck- und Durchsteckmontage)	Hilti Verfüll-Set	Scheibe, Mutter, Sicherungs- mutter	
alle Beanspruchungsrichtungen	✓ M8 bis M24	-	-	-
nur Zugbeanspruchung	-	✓ M8 bis M24	✓ M8 bis M12	

¹⁾ Verfüllung des Ringspalts zwischen Stahlelement und Anbauteil durch Nutzung des Hilti Verfüll-Sets mit HIT-HY ... oder HIT-RE ... Injektionsmörtel.

Tabelle B3: Installationsparameter¹⁾

HIT-HY 200-A V3, HIT-HY 200-R V3, HIT-RE 500 V4 und HVU2 mit HAS-U A4...	M8	M10	M12	M16	M20	M24
Spannungsquerschnitt A _s [mm ²]	36,6	58	84,3	157	245	353
<u>Vorsteckmontage:</u> Maximaler Durchmesser des d _f [mm] Durchgangslochs im Anbauteil	9	12	14	18	22	26
<u>Durchsteckmontage:</u> Maximaler Durchmesser des d _f [mm] Durchgangslochs im Anbauteil	11	14	16	20	24	30
Minimale Anbauteildicke t _{fix,min} ²⁾ [mm]	8	10	12	16	20	24
Höhe des Hilti Verfüll-Sets h _{fs} [mm]	8	9	10	11	13	15
Effektive Anbauteildicke mit Hilti Verfüll-Set t _{fix,eff} [mm]	$t_{fix,eff} = t_{fix} - h_{fs} \geq t_{fix,min}$					

¹⁾ Siehe Anhang B der jeweiligen ETA für die entsprechende Hilti Mörtelpatrone bzw. Injektionsmörtel.

²⁾ Die minimale Anbauteildicke t_{fix,min} kann ersetzt werden durch eine reduzierte minimale Anbauteildicke t_{fix,min,red}, wenn ein entsprechend reduzierter Ermüdungswiderstand in Querrichtung $\Delta V_{Rk,s,0,red}$ berücksichtigt wird:

$$t_{fix,min,red} = (0,5 + 0,5 \cdot \Delta V_{Rk,s,0,(n,\infty),red} / \Delta V_{Rk,s}) \cdot t_{fix,min}$$

mit $\Delta V_{Rk,s} = \Delta V_{Rk,s,0,n}$ für Bemessungsverfahren I (Tabelle C2)

$\Delta V_{Rk,s} = \Delta V_{Rk,s,0,\infty}$ für Bemessungsverfahren II (Tabelle C5)

**Hilti Injektionssystem HIT-HY 200-A V3, HIT-HY 200-R V3, HIT RE 500 V4 und
Mörtelpatrone HVU2 mit HAS-U**

Verwendungszweck
Installationsparameter

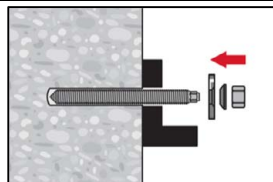
Anhang B2

Montageanweisung

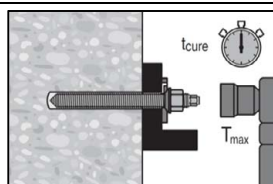
Siehe Anhang B der jeweiligen ETA für die Hilti Mörtelpatrone bzw. Injektionsmörtel.

Montage des Hilti Verfüll-Sets zur Verfüllung der Ringspalts zwischen Stahlelement und Anbauteil.

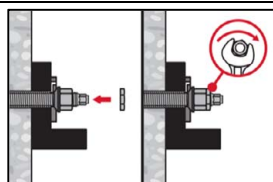
Anmerkung: bei reiner Zugbeanspruchung des Ankers muss der Ringspalt nicht verfüllt werden.



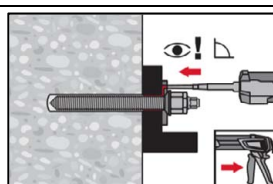
Verwendung des Hilti Verfüll-Sets mit Standardmutter. Korrekte Orientierung der Verschluss scheibe und der Kugelscheibe beachten.



Das aufzubringende Drehmoment darf die angegebenen Werte max T_{inst} nach Anhang B der jeweiligen ETA für die Hilti Mörtelpatrone bzw. Injektionsmörtel nicht überschreiten.

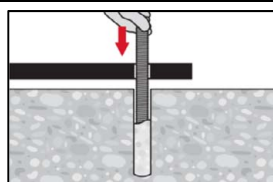


Sicherungsmutter aufdrehen und mit einer $\frac{1}{4}$ bis $\frac{1}{2}$ Umdrehung anziehen.

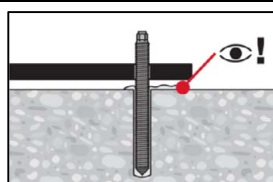


Ringspalt zwischen Stahlelement und Anbauteil mit einem Hilti HIT-HY ... oder HIT-RE... Injektionsmörtel mit 1 bis 3 Hüben verfüllen. Befolgen Sie die Bedienungsanleitung, des entsprechenden Mörtels, die dem Foliengebinde beigelegt ist. Nach Ablauf der erforderlichen Aushärtezeit t_{cure} (siehe Anhang B der jeweiligen ETA für die Hilti Mörtelpatrone bzw. Injektionsmörtel) kann die Befestigung belastet werden.

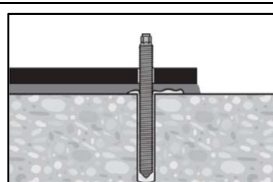
Setzen des Befestigungselements bei Abstand zwischen Beton und Ankerplatte (nur bei reiner Zugbeanspruchung des Ankers)



Befestigungselement bis zur erforderlichen Verankerungstiefe einführen, noch vor die Verarbeitungszeit t_{work} (siehe Anhang B der jeweiligen ETA für die Hilti Mörtelpatrone bzw. Injektionsmörtel) abgelaufen ist.



Überprüfen, ob Mörtel aus dem Bohrloch ausgetreten ist.
Der Spalt zwischen Betonoberfläche und Anbauteil muss nicht vollständig verfüllt sein.



Nach Ablauf der Aushärtezeit t_{cure} (siehe Anhang B der jeweiligen ETA für die Hilti Mörtelpatrone bzw. Injektionsmörtel) ist der Spalt zwischen Betonoberfläche und Anbauteil zu verfüllen.

Hilti Injektionssystem HIT-HY 200-A V3, HIT-HY 200-R V3, HIT RE 500 V4 und
Mörtelpatrone HVU2 mit HAS-U

Verwendungszweck
Montageanweisung

Anhang B3

**Tabelle C1: Wesentliche Merkmale unter Zug-Ermüdungsbeanspruchung in Beton
(Bemessungsverfahren I nach TR 061)**

HIT-HY 200-A V3, HIT-HY 200-R V3, HIT-RE 500 V4 und HVU2 mit HAS-U A4...	M8	M10	M12	M16	M20	M24
Stahlversagen						
Charakteristischer Stahlwiderstand [N/mm ²]						
n ≤ 10 ⁴	207,0		253,5			
10 ⁴ ≤ n ≤ 5 · 10 ⁶	10 ^{(-0,194 · log(n)+3,092)}		10 ^{(-0,148 · log(n)+2,996)}			
5 · 10 ⁶ < n ≤ 10 ⁸	10 ^{(-0,089 · log(n)+2,387)}		10 ^{(-0,069 · log(n)+2,466)}			
n > 10 ⁸	47,3		82,0			
Charakteristischer Stahlwiderstand [kN]						
n ≤ 10 ⁴	7,6	12,0	21,4	39,8	62,1	89,5
2 · 10 ⁵	4,2	6,7	13,7	25,5	39,9	57,4
n 10 ⁶	3,1	4,9	10,8	20,1	31,4	45,3
2 · 10 ⁶	2,7	4,3	9,8	18,2	28,4	40,9
5 · 10 ⁶	2,3	3,6	8,5	15,9	24,8	35,7
n ≥ 10 ⁸	1,7	2,7	6,9	12,9	20,1	29,0
Kombiniertes Versagen, Betonausbruch und Herausziehen im ungerissen und gerissenen Beton						
Charakteristischer Widerstand für kombiniertes Versagen, Betonausbruch und Herausziehen [N/mm ²]			Δτ _{Rk,p(ucr,cr),0,n} = η _{k,p,N,fat,n} · τ _{Rk,(ucr,cr)} ¹⁾			
Reduktionsfaktor [-]			η _{k,p,N,fat,n} = max (1,2 · n ^{-0,08} ; 0,4) mit n ≤ 10 ⁸			
n ≤ 10 ⁴			0,57			
n 2 · 10 ⁵			0,45			
n 10 ⁶			0,40			
n ≥ 2 · 10 ⁶						
Betonausbruch und Spalten im ungerissen und gerissenen Beton						
Charakteristischer Widerstand für Betonausbruch und Spalten [kN]			ΔN _{Rk,(c,sp),0,n} = η _{k,(c,p),N,fat,n} · N _{Rk,(c,sp)} ²⁾			
Reduktionsfaktor [-]			η _{k,(c,sp),N,fat,n} = max (1,1 · n ^{-0,055} ; 0,5)			
n ≤ 10 ⁴			0,66			
n 2 · 10 ⁵			0,58			
n 10 ⁶			0,51			
n ≥ 2 · 10 ⁶			0,50			
Lastumlagerungsfaktor für Befestigungsgruppen ψ _{FN}						
			0,50			

1) τ_{Rk,(ucr,cr)} siehe Anhang C der jeweiligen ETA für die entsprechende Hilti Mörtelpatrone bzw. Injektionsmörtel.

2) N_{Rk,(c,sp)} siehe Anhang C der jeweiligen ETA für die entsprechende Hilti Mörtelpatrone bzw. Injektionsmörtel und EN 1992-4.

Hilti Injektionssystem HIT-HY 200-A V3, HIT-HY 200-R V3, HIT RE 500 V4 und Mörtelpatrone HVU2 mit HAS-U

Leistung

Wesentliche Merkmale unter Zug-Ermüdungsbeanspruchung in Beton
(Bemessungsverfahren I nach TR 061)

Anhang C1

Tabelle C2: Wesentliche Merkmale unter Querzug-Ermüdungsbeanspruchung in Beton (Bemessungsverfahren I nach TR 061)

HIT-HY 200-A V3, HIT-HY 200-R V3, HIT-RE 500 V4 und HVU2 mit HAS-U A4...	M8	M10	M12	M16	M20	M24
Stahlversagen ohne Hebelarm						
Charakteristischer Stahlwiderstand [N/mm ²] $\Delta\sigma_{Rk,s,V,0,n}$						
n ≤ 10 ⁴						135,2
10 ⁴ ≤ n ≤ 5 · 10 ⁶						10 ^{(-0,144 \cdot \log(n) + 2,707)}
5 · 10 ⁶ < n ≤ 10 ⁸						10 ^{(-0,067 \cdot \log(n) + 2,192)}
n > 10 ⁸						45,3
Charakteristischer Stahlwiderstand [kN] $\Delta V_{Rk,s,0,n} = A_s \cdot \Delta\sigma_{Rk,s,V,0,n}$						
n	≤ 10 ⁴	4,9	7,8	11,4	21,2	33,1
n	2 · 10 ⁵	3,2	5,1	7,4	13,8	21,5
n	10 ⁶	2,5	4,0	5,9	10,9	17,1
n	2 · 10 ⁶	2,3	3,7	5,3	9,9	15,4
n	5 · 10 ⁶	2,0	3,2	4,7	8,7	13,5
n	≥ 10 ⁸	1,7	2,6	3,8	7,1	11,1
Betonausbruch auf der lastabgewandten Seite (Pryout) im ungerissenen und gerissenen Beton						
Charakteristischer Widerstand für Betonausbruch auf der lastabgewandten Seite [kN]						$\Delta V_{Rk,cp,0,n} = \eta_{k,cp,V,fat,n} \cdot V_{Rk,cp}$ ¹⁾
Reduktionsfaktor [-]						$\eta_{k,cp,V,fat,n} = \max(1,2 \cdot n^{-0,08}; 0,5)$
n	≤ 10 ⁴					0,57
n	≥ 2 · 10 ⁵					0,50
Betonkantenbruch im ungerissenen und gerissenen Beton						
Wirksame Länge des Befestigungselements l _f [mm]						min (h _{ef} , 12 · d _{nom})
Wirksamer Außendurchmesser des Befestigungselements d _{nom} [mm]		8	10	12	16	20
Charakteristischer Widerstand für Betonkantenbruch [kN]						$\Delta V_{Rk,c,0,n} = \eta_{k,c,V,fat,n} \cdot V_{Rk,c}$ ¹⁾
Reduktionsfaktor [-]						$\eta_{k,c,V,fat,n} = \max(1,2 \cdot n^{-0,08}; 0,5)$
n	≤ 10 ⁴					0,57
n	≥ 2 · 10 ⁵					0,50
Lastumlagerungsfaktor für Befestigungsgruppen ψ _{FV} [-]						0,50

¹⁾ $V_{Rk,(cp,c)}$ siehe Anhang C der jeweiligen ETA für die entsprechende Hilti Mörtelpatrone bzw. Injektionsmörtel und EN 1992-4.

Tabelle C3: Wesentliche Merkmale unter kombinierter Ermüdungsbeanspruchung in Beton (Bemessungsverfahren I nach TR 061)

HIT-HY 200-A V3, HIT-HY 200-R V3, HIT-RE 500 V4 und HVU2 mit HAS-U A4...	M8	M10	M12	M16	M20	M24
Exponent für kombinierte Ermüdungsbeanspruchung $\alpha_s = \alpha_{sn}$ [-]		0,50			0,70	
Exponent für kombinierte Ermüdungsbeanspruchung α_c [-]				1,5		

Hilti Injektionssystem HIT-HY 200-A V3, HIT-HY 200-R V3, HIT RE 500 V4 und Mörtelpatrone HVU2 mit HAS-U

Leistung

Wesentliche Merkmale unter Querzug- und kombinierter Ermüdungsbeanspruchung in Beton (Bemessungsverfahren I nach TR 061)

Anhang C2

Tabelle C4: Wesentliche Merkmale unter Zug-Ermüdungsbeanspruchung in Beton (Bemessungsverfahren II nach TR 061)

HIT-HY 200-A V3, HIT-HY 200-R V3, HIT-RE 500 V4 und HVU2 mit HAS-U A4...	M8	M10	M12	M16	M20	M24
Stahlversagen						
Charakteristischer Stahlwiderstand $\Delta N_{Rk,s,0,\infty}$ [kN]	1,7	2,7	6,9	12,9	20,1	29,0
Kombiniertes Versagen, Betonausbruch und Herausziehen im ungerissen und gerissenen Beton						
Charakteristischer Widerstand für kombiniertes Versagen, Betonausbruch und Herausziehen [N/mm ²]	$\Delta \tau_{Rk,p(ucr,cr),0,10^8} = 0,4 \cdot \tau_{Rk,(ucr,cr)}^{1)}$					
Betonausbruch und Spalten im ungerissen und gerissenen Beton						
Charakteristischer Widerstand für Betonausbruch und Spalten [kN]	$\Delta N_{Rk,(c,sp),0,\infty} = 0,5 \cdot N_{Rk,(c,sp)}^{2)}$					
Lastumlagerungsfaktor für Befestigungsgruppen ψ_{FN}	[-] 0,50					

¹⁾ $\tau_{Rk,(ucr,cr)}$ siehe Anhang C der jeweiligen ETA für die entsprechende Hilti Mörtelpatrone bzw. Injektionsmörtel.

²⁾ $N_{Rk,(c,sp)}$ siehe Anhang C der jeweiligen ETA für die entsprechende Hilti Mörtelpatrone bzw. Injektionsmörtel und EN 1992-4.

Tabelle C5: Wesentliche Merkmale unter Querzug-Ermüdungsbeanspruchung in Beton (Bemessungsverfahren II nach TR 061)

HIT-HY 200-A V3, HIT-HY 200-R V3, HIT-RE 500 V4 und HVU2 mit HAS-U A4...	M8	M10	M12	M16	M20	M24
Stahlversagen ohne Hebelarm						
Charakteristischer Stahlwiderstand $\Delta V_{Rk,s,0,\infty}$ [kN]	1,7	2,6	3,8	7,1	11,1	16,0
Betonausbruch auf der lastabgewandten Seite (Pryout) im ungerissenen und gerissenen Beton						
Charakteristischer Widerstand für Betonausbruch auf der lastabgewandten Seite [kN]	$\Delta V_{Rk,cp,0,\infty} = 0,5 \cdot V_{Rk,cp}^{1)}$					
Betonkantenbruch im ungerissenen und gerissenen Beton						
Wirksame Länge des Befestigungselements l_f [mm]	min (h _{ef} , 12 · d _{nom})					
Wirksamer Außendurchmesser des Befestigungselements d_{nom} [mm]	8	10	12	16	20	24
Charakteristischer Widerstand für Betonkantenbruch [kN]	$\Delta V_{Rk,c,0,\infty} = 0,5 \cdot V_{Rk,c}^{1)}$					
Lastumlagerungsfaktor für Befestigungsgruppen ψ_{FV}	[-] 0,50					

¹⁾ $V_{Rk,(cp,c)}$ siehe Anhang C der jeweiligen ETA für die entsprechende Hilti Mörtelpatrone bzw. Injektionsmörtel und EN 1992-4.

Tabelle C6: Wesentliche Merkmale unter kombinierter Ermüdungsbeanspruchung in Beton (Bemessungsverfahren II nach TR 061)

HIT-HY 200-A V3, HIT-HY 200-R V3, HIT-RE 500 V4 und HVU2 mit HAS-U A4...	M8	M10	M12	M16	M20	M24
Exponent für kombinierte Ermüdungsbeanspruchung $\alpha_s = \alpha_{sn}$ [-]	0,50			0,70		
Ermüdungsbeanspruchung α_c [-]	1,5					

Hilti Injektionssystem HIT-HY 200-A V3, HIT-HY 200-R V3, HIT RE 500 V4 und Mörtelpatrone HVU2 mit HAS-U

Leistung

Wesentliche Merkmale unter Zug-, Querzug- und kombinierter Ermüdungsbeanspruchung in Beton (Bemessungsverfahren II nach TR 061)

Anhang C3

Deutsches Institut für Bautechnik
Jednostka aprobowująca wyroby budowlane i typy konstrukcji
Ośrodek Badawczy Techniki Budowlanej
Instytucja utworzona przez Rząd Federalny i Rządy Krajów Związkowych

Upoważniona zgodnie z Artykułem 29 Rozporządzenia (Unii Europejskiej) Nr 305/2011 oraz członek EOTA (Europejskiej Organizacji ds. Ocen Technicznych)

Członek EOTA
www.eota.eu

Europejska Ocena Techniczna

**ETA-23/0277
z 8 lutego 2024r.**

Tłumaczenie angielskie przygotowane przez Deutsches Institut für Bautechnik – Wersja oryginalna w języku niemieckim.

Tłumaczenie z języka angielskiego na język polski na zlecenie Hilti (Poland) Sp. z o.o.

Część ogólna

Jednostka Oceny Technicznej wydająca niniejszą Europejską Ocenę Techniczną

Deutsches Institut für Bautechnik

Nazwa handlowa wyrobu budowlanego

System iniekcyjny Hilti HIT-HY 200-A V3, HIT-HY 200-R V3, HIT RE 500 V4 oraz patron z żywicą HVU2 z prętem HAS-U

Rodzina produktów, do których należy wybór budowlany

Łączniki wklejane do stosowania w betonie pod obciążeniem cyklicznym zmęczeniowym

Producent

Hilti Aktiengesellschaft (Spółka Akcyjna)
Feldkircherstrasse 100
9494 Schaan
KSIĘSTWO LIECHTENSTEIN

Zakład produkcyjny

Zakłady produkcyjne firmy Hilti

Niniejsza Europejska Ocena Techniczna zawiera

15 stron w tym 3 Załączniki, które stanowią integralną część niniejszej Oceny.

Niniejsza Europejska Ocena Techniczna została wydana zgodnie z Rozporządzeniem (Unii Europejskiej) Nr 305/2011, na podstawie

EAD 330250-01-0601, wydanie z 10/2023r.

Niniejsza Europejska Ocena Techniczna została wydana przez Jednostkę Oceny Technicznej w jej języku oficjalnym. Tłumaczenie niniejszej Europejskiej Oceny Technicznej na inne języki musi w pełni odpowiadać oryginalnie wydanemu dokumentowi i powinno być wyraźnie oznaczone jako takowe.

Udostępnianie niniejszej Europejskiej Oceny Technicznej, włącznie z jej przesyłaniem za pomocą metod elektronicznych, jest dopuszczalne jedynie w całości. Kopiowanie części dokumentu może mieć miejsce, jednakże jedynie za pisemną zgodą wydającej go Jednostki Oceny Technicznej. Każde częściowe kopowanie musi być wyraźnie oznaczone jako takowe.

Niniejsza Europejska Ocena Techniczna może zostać uchylona przez wydającą ją Jednostkę Oceny Technicznej, w szczególności na podstawie informacji Komisji zgodnie z treścią Artykułu 25(3) Rozporządzenia (Unii Europejskiej) Nr 305/2011.

Część szczegółowa dokumentu

1. Opis techniczny produktu

System iniecyjny Hilti HIT-HY 200-A V3, HIT-HY 200-R V3, HIT RE 500 V4 oraz patron z żywicą HVU2 z prętem HAS-U stanowią kotwy wklejane składające się z opakowania z żywicą iniecyjną Hilti HIT-HY 200-A V3 lub HIT-HY 200-R V3 lub HIT RE 500 V4 lub z patrona z żywicą HVU2 oraz z elementu stalowego HAS-U A4 z nakrętką kontrującą, podkładką sferyczną i z podkładką uszczelniającą Hilti lub z elementu stalowego HAS-U A4 z nakrętki kontrującej, nakrętki sześciokątnej i podkładki.

Przeniesienie obciążenia jest uzyskiwane poprzez wiązanie pomiędzy elementem stalowym, wiążącą żywicą iniecyjną oraz betonem.

Opis produktu został przedstawiony w Załączniku A.

2. Wyszczególnienie zamierzonego stosowania wyrobu zgodnie ze stosownym Europejskim Dokumentem Oceny

Właściwości użytkowe podane w Rozdziale 3 obowiązują wyłącznie wtedy, gdy kotwa jest stosowana zgodnie ze specyfikacjami i warunkami podanymi w Załączniku B.

Sprawdzenia i metody oceny, na których opiera się niniejsza Europejska Ocena Techniczna uwzględniają założenie, że okres użytkowania kotwy będzie wynosił przynajmniej 50 lat. Wskazania dotyczące okresu użytkowania nie mogą być interpretowane jako gwarancja udzielona przez producenta, a jedynie jako przesłanki mające pomóc w wyborze odpowiedniego produktu spełniającego oczekiwania z punktu widzenia ekonomicznie optymalnego czasu eksploatacji wykonanych robót.

3. Właściwości użytkowe produktu oraz informacje na temat metod użytych do ich oceny

3.1 Wytrzymałość mechaniczna i stateczność (Podstawowe wymaganie 1)

Podstawowa charakterystyka (Metoda oceny C: Funkcja linearyzowana)	Właściwości
Charakterystyczna nośność zmęczeniowa pod wpływem cyklicznego obciążenia rozciągającego	
Charakterystyczna nośność zmęczeniowa stali $\Delta N_{Rk,s,0,n}$ ($n = 1$ do $n = \infty$)	
Charakterystyczna nośność zmęczeniowa dla wyrwania stożka betonu oraz rozłupania betonu $\Delta N_{Rk,c,0,n} \Delta N_{Rk,sp,0,n}$ ($n = 1$ do $n = \infty$)	Patrz → Załączniki C1 oraz C3
Charakterystyczna nośność zmęczeniowa dla kombinacji wyciągnięcia kotwy /zniszczenia żka betonu oraz rozłupania betonu $\Delta N_{Rk,c,0,n} \Delta N_{Rk,sp,0,n}$ ($n = 1$ do $n = \infty$)	
Charakterystyczna nośność zmęczeniowa pod wpływem cyklicznego obciążenia ścinającego	
Charakterystyczna nośność zmęczeniowa stali $\Delta V_{Rk,s,0,n}$ ($n = 1$ do $n = \infty$)	
Charakterystyczna nośność zmęczeniowa krawędzi betonu $\Delta V_{Rk,c,0,n}$ ($n = 1$ do $n = \infty$)	Patrz → Załączniki C2 oraz C3
Charakterystyczna nośność zmęczeniowa dla wyłupania betonu $\Delta V_{Rk,sp,0,n}$ ($n = 1$ do $n = \infty$)	

Podstawowa charakterystyka (Metoda oceny C: Funkcja linearyzowana)	Właściwości
Charakterystyczna nośność zmęczeniowa pod wpływem kombinowanego cyklicznego obciążenia rozciągającego i ścinającego	
Charakterystyczna nośność zmęczeniowa stali a_s ($n = 1$ do $n = \infty$)	Patrz → Załączniki C2 oraz C3
Współczynnik przekazywania obciążeń dla cyklicznego obciążenia rozciągającego i ścinającego	
Współczynnik przekazywania obciążeń ψ_{FN} , ψ_{FV}	Patrz → Załączniki od C1 do C3

4 Zastosowany system oceny i weryfikacji stałości właściwości użytkowych (AVCP) oraz informacje nt. podstawy prawnej

Zgodnie z Europejskim Dokumentem Oceny EAD 330250-01-0601 zastosowanie ma europejski akt prawny: [96/582/EC].

Zastosowanie ma system: 1.

5 Szczegóły techniczne konieczne do wdrożenia systemu oceny i weryfikacji stałości właściwości użytkowych (AVCP) uwzględnione w odpowiednim Europejskim Dokumencie Oceny

Szczegóły techniczne konieczne do wdrożenia systemu oceny i weryfikacji stałości właściwości użytkowych (AVCP) są zawarte w planie kontroli przechowywanym w Deutsches Institut für Bautechnik.

W niniejszej Europejskiej Ocenie Technicznej zawarto odniesienia do następujących norm oraz dokumentów:

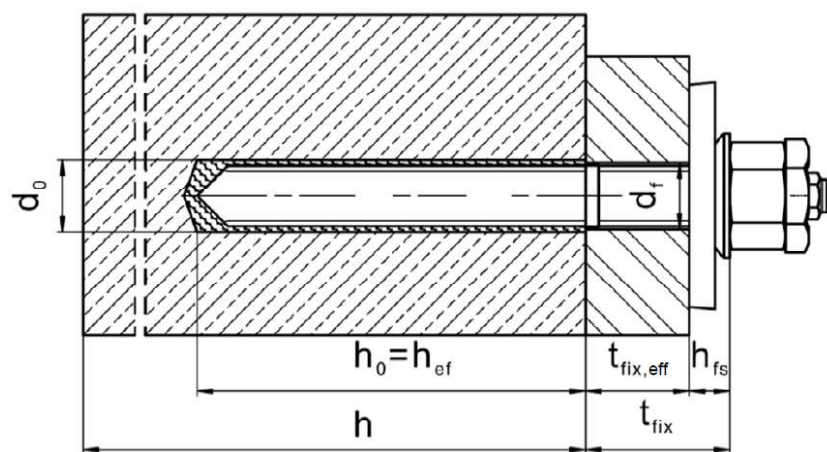
- | | |
|---------------------------------|--|
| - EN 1993-1-4:2006 + A1:2015 | Eurokod 3: Projektowanie konstrukcji stalowych – Część 1-4:
Reguły ogólne – Reguły uzupełniające dla konstrukcji
ze stali nierdzewnych |
| - EN 10088-1:2014 | Stale odporne na korozję - Część 1: Wykaz stali odpornych
na korozję |
| - EN 206:2013 + A1:2016 | Beton - Wymagania, właściwości, produkcja i zgodność |
| - EN 1992-4:2018 | Eurokod 2: Projektowanie konstrukcji z betonu - Część 4:
Projektowanie zamocowań do stosowania w betonie |
| - EOTA TR 055 | Projektowanie zamocowań w oparciu o EAD 330232-00-0601,
EAD 330499-00-0601 oraz EAD 330747-00-0601, luty 2018r. |
| - Raport Techniczny EOTA TR 061 | Metoda Projektowania dla łączników w betonie poddanych
obciążeniom cyklicznym zmęczeniowym, Sierpień 2023r. |
| - ETA-16/0515 | Europejska Ocena Techniczna dla HVU2, 14 września 2023r. |
| - ETA-19/0601 | Europejska Ocena Techniczna dla Systemu iniekcyjnego Hilti
HIT-HY 200-A V3 oraz HIT-HY 200-R V3, 29 stycznia 2024r. |
| - ETA-20/0541 | Europejska Ocena Techniczna dla Systemu iniekcyjnego Hilti
HIT-RE 500 V4, 9 czerwca 2023r. |

Dokument wydany w Berlinie 8 lutego 2024r. przez Deutsches Institut für Bautechnik.

Inż. dyplomowany Beatrix Wittstock
Kierownik Sekcji

uwierzytelniony przez:
Stiller

Warunki montażu



**System iniecyjny Hilti HIT-HY 200-A V3, HIT-HY 200-R V3, HIT RE 500 V4
oraz patron z żywicą HVU2 z prętem HAS-U**

Opis produktu
Warunki montażu

Załącznik A1

Opis produktu: Patron z żywicą, żywica iniekcyjna, łącznik oraz zestaw do wypełniania
Patron z klejem do kotew HVU2 M8 do M24: żywica i utwardzacz z wypełniaczem (kruszywem)

Oznaczenie:

HVU2 M ...

Data ważności m-c/rok



Nazwa produktu: "HVU2"

Żywica iniekcyjna Hilti HIT-HY 200-A V3 oraz Hilti HIT-HY 200-R V3: system hybrydowy (dwuskładnikowy) z wypełniaczem (kruszywem)
330 ml oraz 500 ml



Oznaczenie:

HILTI HIT

Numer produkcji oraz
numer linii produkcyjnej

Data ważności m-c/rok

Nazwa produktu: "Hilti HIT-HY 200-A V3"



Nazwa produktu: "Hilti HIT-HY 200-R V3"

Żywica iniekcyjna Hilti HIT-RE 500 V4: system żywicy epoksydowej z wypełniaczem (kruszywem)
330 ml, 500 ml oraz 1400 ml

Oznaczenie

HILTI HIT

Numer produkcji oraz
numer linii produkcyjnej

Data ważności m-c/rok



Nazwa produktu: "Hilti HIT-RE 500 V4"

Mieszacz statyczny Hilti HIT-RE-M



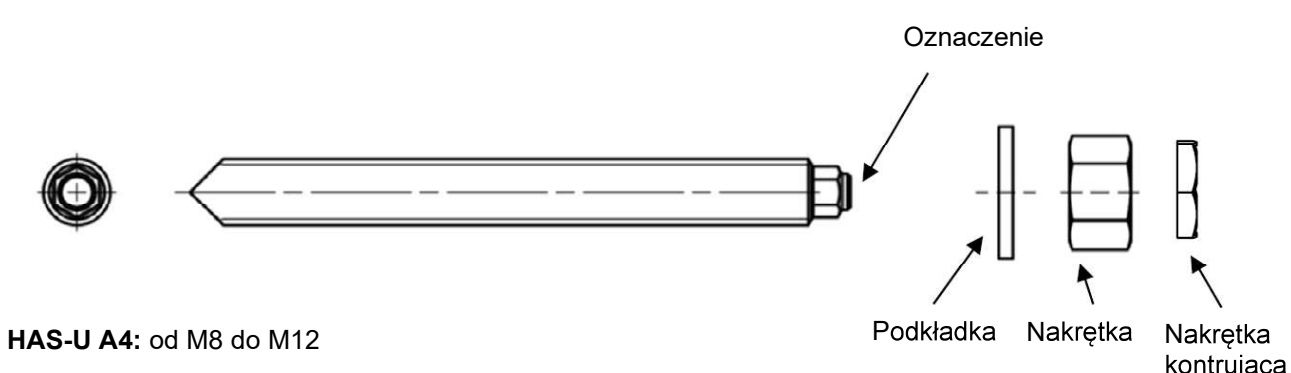
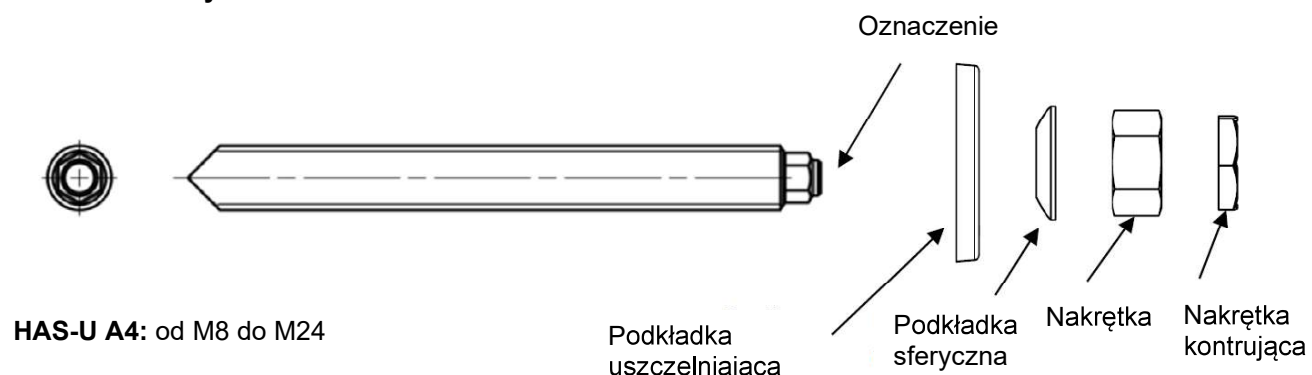
**System iniekcyjny Hilti HIT-HY 200-A V3, HIT-HY 200-R V3, HIT RE 500 V4
oraz patron z żywicą HVU2 z prętem HAS-U**

Opis produktu

Patron z żywicą oraz żywica iniekcyjna

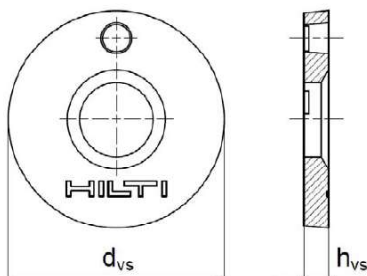
Załącznik A2

Element stalowy

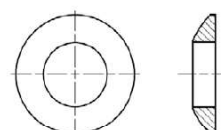


Zestaw Hilti do Wypełniania pierścieniowej przestrzeni pomiędzy elementem stalowym oraz elementem mocowanym

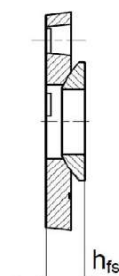
Podkładka uszczelniająca



Podkładka sferyczna



Zestaw do wypełniania



Zestaw Hilti do Wypełniania

	M8	M10	M12	M16	M20	M24
Średnica podkładki uszczelniającej	$d_{vs} [\text{mm}]$	38	42	44	52	60
Grubość podkładki uszczelniającej	$h_{vs} [\text{mm}]$		5		6	
Grubość Zestawu Hilti do Wypełniania	$h_{fs} [\text{mm}]$	8	9	10	11	13

System iniekcyjny Hilti HIT-HY 200-A V3, HIT-HY 200-R V3, HIT RE 500 V4
oraz patron z żywicą HVU2 z prętem HAS-U

Opis produktu

Element stalowy oraz Zestaw Hilti do wypełniania

Załącznik A3

Tabela A1: Materiały

Opis elementu	Materiał
Elementy metalowe wykonane ze stali nierdzewnej klasa odporności na korozję (CRC) III według normy EN 1993-1-4	
HAS-U A4	Klasa wytrzymałości stali 70, $f_{uk} = 700 \text{ N/mm}^2$, $f_{yk} = 450 \text{ N/mm}^2$ Wydłużenie przy zerwaniu ($l_0=5d$) > 12% ciągliwa.
Nakrętka sześciokątna	Klasa wytrzymałości stali 70, $f_{uk} = 700 \text{ N/mm}^2$, $f_{yk} = 450 \text{ N/mm}^2$ Stal nierdzewna 1.4401, 1.4404, 1.4578, 1.4571, 1.4439, 1.4362 według normy EN 10088-1
Podkładka	Stal nierdzewna według normy EN 10088-1
Nakrętka kontrująca	Stal nierdzewna według normy EN 10088-1
Zestaw Hilti do wypełniania A4	Podkładka wypełniająca: Stal nierdzewna według normy EN 10088-1. Podkładka sferyczna: Stal nierdzewna według normy EN 10088-1. Nakrętka kontrująca: Stal nierdzewna według normy EN 10088-1.

**System iniecyjny Hilti HIT-HY 200-A V3, HIT-HY 200-R V3, HIT RE 500 V4
oraz patron z żywicą HVU2 z prętem HAS-U**

Opis produktu
Materiały

Załącznik A4

Specyfikacje zamierzonego stosowania

Zakotwienia poddawane:

- Obciążeniem cyklicznym zmęczeniowym dla rozmiarów od M8 do M24.
Uwaga: obciążenia statyczne i quasi-statyczne według ETA-16/0515 dla HVU2, ETA-19/0601 dla HIT-HY 200-A V3 oraz HIT-HY 200-R V3 jak również ETA-20/0541 dla HIT-RE 500 V4.

Materiał podłoża:

- Zagęszczony, zbrojony lub niezbrojony beton o standardowym ciężarze bez włókien zgodny z normą EN 206.
- Klasy wytrzymałości betonu od C20/25 do C50/60 zgodne z normą EN 206.
- Beton zarysowany oraz beton niezarysowany.

Temperatura wewnętrz podłoża: w trakcie montażu oraz w trakcie eksploatacji

Patrz→ Załącznik B odpowiedniej Europejskiej Oceny Technicznej wydanej dla odnośnego patronu oraz żywic iniekcyjnych.

Uwaga: maksymalna dopuszczalna temperatura przy oddziaływaniu krótkotrwałym wynosi 80 °C dla patronu Hilti oraz żywic iniekcyjnych.

Warunki stosowania (Warunki środowiskowe):

- Dla wszelkich warunków według normy EN 1993-1-4 odpowiadających klasom odporności na korozję Załącznik A4 Tabela A1 (stal nierdzewna) .

Projektowanie:

- Zakotwienia muszą być projektowane pod nadzorem inżyniera doświadczonego w dziedzinie zakotwień i robót betonowych
- Należy wykonać możliwe do weryfikacji obliczenia oraz opracować rysunki, biorąc pod uwagę obciążenia, które mają być przeniesione. Położenie łącznika musi być określone na rysunkach projektowych (np. poprzez podanie położenia łącznika względem zbrojenia lub względem podpór, itd).
- Zakotwienia poddawane obciążeniom cyklicznym zmęczeniowym muszą być projektowane zgodnie z: normą EN 1992-4 lub Raport Techniczny EOTA TR 061.

Montaż:

Patrz→ Załącznik B odpowiedniej Europejskiej Oceny Technicznej wydanej dla odnośnego patronu oraz żywic iniekcyjnych.

Tabela B1: Specyfikacje zamierzonego stosowania

Patron z żywicą oraz żywice iniekcyjne	HVU2	HIT-HY 200-A V3 HIT-HY 200-R V3	HIT-RE 500 V4
Wiercenie udarowe 	✓	✓	✓
Wiercenie udarowe przy użyciu wiertel rurowych TE-CD lub TE-YD 	≥ M12	≥ M10	≥ M10
Wiercenie diamentowe rdzeniowe 	✓	-	✓ beton niezarysowany
Wiercenie diamentowe rdzeniowe z szorstkovaniem przy użyciu narzędzia do szorstkovania Hilti TE-YRT 	-	✓ ≥ M16	✓ ≥ M16

System iniekcyjny Hilti HIT-HY 200-A V3, HIT-HY 200-R V3, HIT RE 500 V4
oraz patron z żywicą HVU2 z prętem HAS-U

Zamierzone stosowanie
Specyfikacje

Załącznik B1

Tabela B2: Specyfikacje zamierzonego stosowania – opcje montażu

Opcja montażu	Pierścieniowa przestrzeń wypełniona Zestaw Hilti do wypełniania ¹⁾ (montaż nieprzelotowy lub montaż przelotowy)	Pierścieniowa przestrzeń nie wypełniona	Podkładka, nakrętka, nakrętka kontrująca
	Zestaw Hilti do wypełniania		
wszystkie kierunki obciążenia	✓ od M8 do M24	-	-
wyłącznie obciążenie rozciągające	-	✓ od M8 do M24	✓ od M8 do M12

¹⁾ Wypełnianie przestrzeni pomiędzy elementem stalowym oraz elementem mocowanym przy użyciu zestawu Hilti do wypełniania i żywicy iniekcyjnej HIT-HY ... lub HIT-RE ...

Tabela B3: Parametry montażowe¹⁾

HIT-HY 200-A V3, HIT-HY 200-R V3, HIT RE 500 V4 oraz HVU2 z prętem HAS-U A4...		M8	M10	M12	M16	M20	M24
Powierzchnia czynna przekroju stali	A_s [mm ²]	36,6	58	84,3	157	245	353
Montaż nieprzelotowy: Maksymalna średnica otworu przelotowego w elemencie mocowanym	d_f [mm]	9	12	14	18	22	26
Montaż przelotowy: Maksymalna średnica otworu przelotowego w elemencie mocowanym	d_f [mm]	11	14	16	20	24	30
Minimalna grubość elementu mocowanego	$t_{fix,min.}^{2)}$ [mm]	8	10	12	16	20	24
Grubość Zestawu Hilti do wypełniania	h_{fs} [mm]	8	9	10	11	13	15
Czynna grubość elementu mocowanego z Zestawem Hilti do wypełniania	$t_{fix,eff}$ [mm]	$t_{fix,eff} = t_{fix} - h_{fs} \geq t_{fix,min.}$					

¹⁾ Patrz→ Załącznik B odpowiedniej Europejskiej Oceny Technicznej wydanej dla odnośnego patronu oraz żywic iniekcyjnych.

²⁾ Minimalna grubość elementu $t_{fix,min}$ może być zastąpiona przez zredukowaną minimalną grubość elementu mocowanego $t_{fix,min,red}$, jeśli wzięto pod uwagę zredukowaną nośność zmęczeniową w kierunku poprzecznym $\Delta V_{Rk,s,0,red}$:

$$t_{fix,min,red} = (0,5 + 0,5 \cdot \Delta V_{Rk,s,0,(n,\infty),red} / \Delta V_{Rk,s}) \cdot t_{fix,min}$$

gdzie $\Delta V_{Rk,s} = \Delta V_{Rk,s,0,n}$ dla metody projektowania I (Tabela C2)

$\Delta V_{Rk,s} = \Delta V_{Rk,s,0,\infty}$ dla metody projektowania II (Tabela C5)

**System iniekcyjny Hilti HIT-HY 200-A V3, HIT-HY 200-R V3, HIT RE 500 V4
oraz patron z żywicą HVU2 z prętem HAS-U**

Zamierzone stosowanie

Parametry montażowe

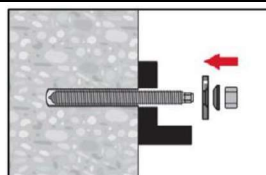
Załącznik B2

Instrukcja montażu

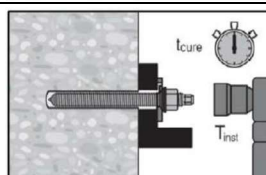
Patrz→ Załącznik B odpowiedniej Europejskiej Oceny Technicznej wydanej dla odnośnego patronu oraz żywic iniekcyjnych.

Montaż Zestawu Hilti do wypełniania w celu wypełnienia pierścieniowej przestrzeni pomiędzy łącznikiem i elementem mocowanym.

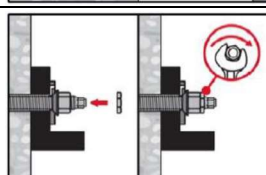
Uwaga: jeśli łącznik jest poddany obciążeniu w kierunku osiowym, przestrzeń nie musi być wypełniona.



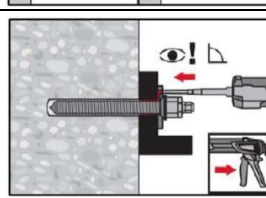
Należy zastosować Zestawu Hilti do wypełniania wyposażony w standardową nakrętkę. Konieczne jest sprawdzenie prawidłowości położenia podkładki wypełniającej oraz podkładki sferycznej.



Zastosowany montażowy moment dokręcający nie może przekroczyć wartości maksymalnych T_{inst} podanych w Załączniku B odpowiedniej Europejskiej Oceny Technicznej wydanej dla odnośnego patronu Hilti oraz żywic iniekcyjnych.

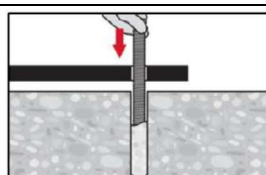


Montaż nakrętki kontrująccej. Nakrętkę należy dokręcić stosując od $\frac{1}{4}$ do $\frac{1}{2}$ obrotu.

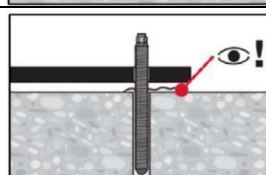


Należy wypełnić pierścieniową przestrzeń pomiędzy pretem kotwy i elementem mocowanym od 1 do 3 dozami żywicy iniekcyjnej Hilti HIT-HY ... lub HIT-RE ... Następnie należy postępować zgodnie z instrukcjami montażu dostarczonymi wraz z żywicą iniekcyjną Hilti. Po upłynięciu wymaganego czasu utwardzania t_{cure} (patrz→ Załącznik B odpowiedniej Europejskiej Oceny Technicznej wydanej dla odnośnego patronu Hilti oraz żywic iniekcyjnych) kotwa może zostać obciążona.

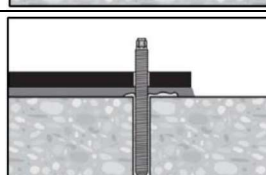
Osadzanie łącznika z przestrzenią pomiędzy betonem i blachą czołową (wyłącznie jeśli przedmiotowy łącznik jest obciążony w kierunku osiowym)



Należy osadzić łącznik do wymaganej głębokości osadzenia przed upływem czasu roboczego t_{work} (patrz→ Załącznik B odpowiedniej Europejskiej Oceny Technicznej wydanej dla odnośnego patronu Hilti oraz żywic iniekcyjnych).



Należy sprawdzić, czy nadmiar żywicy wypływał z otworu. Pierścieniowa przestrzeń w otworze mocowanym nie musi być wypełniona.



Po upływie wymaganego czasu utwardzania t_{cure} (patrz→ Załącznik B odpowiedniej Europejskiej Oceny Technicznej wydanej dla odnośnego patronu Hilti oraz żywic iniekcyjnych) należy wypełnić przestrzeń pod blachą czołową.

**System iniekcyjny Hilti HIT-HY 200-A V3, HIT-HY 200-R V3, HIT RE 500 V4
oraz patron z żywicą HVU2 z pretem HAS-U**

Zamierzzone stosowanie
Instrukcje montażu łączników

Załącznik B3

Tabela C1: Podstawowe charakterystyki pod wpływem rozciągających obciążen zmęczeniowych w betonie (Metoda projektowania I według Raportu TR 061)

HIT-HY 200-A V3, HIT-HY 200-R V3, HIT RE 500 V4 oraz HVU2 z prętem HAS-U A4...	M8	M10	M12	M16	M20	M24
Zniszczenie stali						
Charakterystyczna nośność stali [N/mm ²] $\Delta\sigma_{Rk,s,N,0,n}$						
Liczba cykli	n ≤ 10 ⁴	207,0		253,5		
	10 ⁴ ≤ n ≤ 5·10 ⁶	10 ^{(-0,194·log(n)+3,092)}		10 ^{(-0,148·log(n)+2,996)}		
	5·10 ⁶ < n ≤ 10 ⁸	10 ^{(-0,089·log(n)+2,387)}		10 ^{(-0,069·log(n)+2,466)}		
	n > 10 ⁸	47,3		82,0		
Charakterystyczna nośność stali [kN] $\Delta N_{Rk,s,0,n} = A_s \cdot \Delta\sigma_{Rk,s,N,0,n}$						
Liczba cykli	n	≤ 10 ⁴	7,6	12,0	21,4	39,8
	n	2·10 ⁵	4,2	6,7	13,7	25,5
	n	10 ⁶	3,1	4,9	10,8	20,1
	n	2·10 ⁶	2,7	4,3	9,8	18,2
	n	5·10 ⁶	2,3	3,6	8,5	15,9
	n	≥ 10 ⁸	1,7	2,7	6,9	12,9
Zniszczenie przez kombinację wyciągnięcia kotwy i wyłamanie stożka w betonie niezarysowanym i zarysowanym						
Charakterystyczna nośność dla kombinacji wyciągnięcia kotwy/wyłamania stożka betonu [N/mm ²] $\Delta\tau_{Rk,p(ucr,cr),0,n} = \eta_{k,p,N,fat,n} \cdot \tau_{Rk,(ucr,cr)}$ ¹⁾						
Współczynnik redukcyjny [-]						
Liczba cykli	n	≤ 10 ⁴		0,57		
	n	2·10 ⁵		0,45		
	n	10 ⁶			0,40	
	n	≥ 10 ⁸				
Zniszczenie przez wyłamanie stożka i rozłupanie podłoża w betonie niezarysowanym i zarysowanym						
Charakterystyczna nośność dla wyłamania stożka betonu i rozłupania podłoża [kN] $\Delta N_{Rk,(c,sp),0,n} = \eta_{k,(c,p),N,fat,n} \cdot N_{Rk,(c,sp)}$ ²⁾						
Współczynnik redukcyjny [-]						
Liczba cykli	n	≤ 10 ⁴		0,66		
	n	2·10 ⁵		0,58		
	n	10 ⁶		0,51		
	n	≥ 2·10 ⁶		0,50		
Współczynnik przekazywania obciążen dla grupy łączników ψ _{FN} [-]				0,50		

¹⁾ $\tau_{Rk,(ucr,cr)}$ patrz → Załącznik B odpowiedniej Europejskiej Oceny Technicznej wydanej dla odnośnego patronu Hilti oraz żywic iniekcyjnych.

²⁾ $N_{Rk,(c,sp)}$ patrz → Załącznik B odpowiedniej Europejskiej Oceny Technicznej wydanej dla odnośnego patronu Hilti oraz żywic iniekcyjnych oraz norma EN 1992-4.

System iniekcyjny Hilti HIT-HY 200-A V3, HIT-HY 200-R V3, HIT RE 500 V4 oraz patron z żywicą HVU2 z prętem HAS-U

Charakterystyki

Podstawowe charakterystyki pod wpływem rozciągających obciążen zmęczeniowych w betonie (Metoda projektowania I według Raportu Technicznego TR 061)

Załącznik C1

Tabela C2: Podstawowe charakterystyki pod wpływem ścinających obciążzeń zmęczeniowych w betonie (Metoda projektowania I według Raportu TR 061)

HIT-HY 200-A V3, HIT-HY 200-R V3, HIT RE 500 V4 oraz HVU2 z prętem HAS-U A4...		M8	M10	M12	M16	M20	M24	
Zniszczenie stali bez oddziaływanego momentu zginającego								
Charakterystyczna nośność stali	[N/mm ²]						$\Delta\sigma_{Rk,s,V,0,n}$	
	n ≤ 10 ⁴						135,2	
Liczba cykli	10 ⁴ ≤ n ≤ 5·10 ⁶						10(-0,144·log(n)+2,707)	
	5·10 ⁶ < n ≤ 10 ⁸						10(-0,067·log(n)+2,192)	
	n > 10 ⁸						45,3	
Charakterystyczna nośność stali	[kN]						$\Delta V_{Rk,s,0,n} = A_s \cdot \Delta\sigma_{Rk,s,V,0,n}$	
Liczba cykli	n	≤ 10 ⁴	4,9	7,8	11,4	21,2	33,1	47,7
	n	2·10 ⁵	3,2	5,1	7,4	13,8	21,5	31,0
	n	10 ⁶	2,5	4,0	5,9	10,9	17,1	24,6
	n	2·10 ⁶	2,3	3,7	5,3	9,9	15,4	22,3
	n	5·10 ⁶	2,0	3,2	4,7	8,7	13,5	19,5
	n	≥ 10 ⁸	1,7	2,6	3,8	7,1	11,1	16,0
Zniszczenie przez podważenie w betonie niezarysowanym i zarysowanym								
Charakterystyczna nośność na podważenie betonu	[kN]						$\Delta V_{Rk,cp,0,n} = \eta_{k,cp,V,fat,n} \cdot V_{Rk,cp}$ ¹⁾	
Współczynnik redukcyjny	[-]						$\eta_{k,cp,V,fat,n} = \text{maks. } (1,2 \cdot n^{-0,08}; 0,5)$	
Liczba cykli	n	≤ 10 ⁴					0,57	
	n	≥ 2·10 ⁵					0,50	
Zniszczenie krawędzi podłożu betonowego w betonie niezarysowanym i zarysowanym								
Czynna długość łącznika	l _f	[mm]					min. (h _{ef} , 12·d _{nom})	
Czynna średnica zewnętrzna łącznika	d _{nom}	[mm]	8	10	12	16	20	24
Charakterystyczna nośność zmęczeniowa krawędzi betonu	[kN]						$\Delta V_{Rk,c,0,n} = \eta_{k,c,V,fat,n} \cdot V_{Rk,c}$ ¹⁾	
Współczynnik redukcyjny	[-]						$\eta_{k,c,V,fat,n} = \text{maks. } (1,2 \cdot n^{-0,08}; 0,5)$	
Liczba cykli	n	≤ 10 ⁴					0,57	
	n	2·10 ⁵					0,50	
Współczynnik przekazywania obciążzeń dla grupy łączników	ψ _{FN}	[-]					0,50	

¹⁾ $V_{Rk,(cp,c)}$ patrz → Załącznik B odpowiedniej Europejskiej Oceny Technicznej wydanej dla odnośnego patronu Hilti oraz żywic iniekcyjnych oraz norma EN 1992-4.

Tabela C3: Podstawowe charakterystyki dla kombinowanego obciążenia zmęczeniowego w betonie (Metoda projektowania I według Raportu TR 061)

HIT-HY 200-A V3, HIT-HY 200-R V3, HIT RE 500 V4 oraz HVU2 z prętem HAS-U A4...		M8	M10	M12	M16	M20	M24
Wykładnik potęgi dla kombinowanego obciążenia zmęczeniowego		$\alpha_s = \alpha_{sn}$ [-]					0,50
		α_c [-]					1,5

System iniekcyjny Hilti HIT-HY 200-A V3, HIT-HY 200-R V3, HIT RE 500 V4 oraz patron z żywicą HVU2 z prętem HAS-U

Charakterystyki

Podstawowe charakterystyki pod wpływem obciążenia zmęczeniowego ścinającego i kombinowanego w betonie (Metoda projektowania I według Raportu Technicznego TR 061)

Załącznik C2

Tabela C4: Podstawowe charakterystyki pod wpływem rozciągających obciążen zmęczeniowych w betonie (Metoda projektowania II według Raportu TR 061)

HIT-HY 200-A V3, HIT-HY 200-R V3, HIT RE 500 V4 oraz HVU2 z prętem HAS-U A4...	M8	M10	M12	M16	M20	M24
Zniszczenie stali						
Charakterystyczna nośność stali $\Delta N_{Rk,s,0,\infty}$ [kN]	1,7	2,7	6,9	12,9	20,1	29,0
Zniszczenie przez kombinację wyciągnięcia kotwy i wyłamanie stożka w betonie niezarysowanym i zarysowanym						
Charakterystyczna nośność dla kombinacji wyciągnięcia kotwy/wyłamania stożka betonu [N/mm ²]	$\Delta \tau_{Rk,p(ucr,cr),0,10^8} = 0,4 \cdot \tau_{Rk,(ucr,cr)}^{1)}$					
Zniszczenie przez wyłamanie stożka i rozłupanie podłożu w betonie niezarysowanym i zarysowanym						
Charakterystyczna nośność dla wyłamania stożka betonu i rozłupania podłożu [kN]	$\Delta N_{Rk,(c,sp),0,\infty} = 0,5 \cdot N_{Rk,(c,sp)}^{2)}$					
Współczynnik przekazywania obciążzeń dla grupy łączników ψ_{FN} [-]	0,50					

¹⁾ $\tau_{Rk,(ucr,cr)}$ patrz → Załącznik C odpowiedniej Europejskiej Oceny Technicznej wydanej dla odnośnego patronu Hilti oraz żywic iniekcyjnych.

²⁾ $N_{Rk,(c,sp)}$ patrz → Załącznik C odpowiedniej Europejskiej Oceny Technicznej wydanej dla odnośnego patronu Hilti oraz żywic iniekcyjnych oraz norma EN 1992-4.

Tabela C5: Podstawowe charakterystyki pod wpływem ścinających obciążzeń zmęczeniowych w betonie (Metoda projektowania II według Raportu TR 061)

HIT-HY 200-A V3, HIT-HY 200-R V3, HIT RE 500 V4 oraz HVU2 z prętem HAS-U A4...	M8	M10	M12	M16	M20	M24
Zniszczenie stali bez oddziaływania momentu zginającego						
Charakterystyczna nośność $\Delta V_{Rk,s,0,\infty}$ [kN]	1,7	2,6	3,8	7,1	11,1	16,0
Zniszczenie przez podważenie w betonie niezarysowanym i zarysowanym						
Charakterystyczna nośność na podważenie betonu [kN]	$\Delta V_{Rk,sp,0,\infty} = 0,5 \cdot V_{Rk,sp}^{1)}$					
Zniszczenie krawędzi podłożu betonowego w betonie niezarysowanym i zarysowanym						
Czynna długość łącznika l_f [mm]	min. (h_{ef}^1 , $12 \cdot d_{nom}$)					
Czynna średnica zewnętrzna łącznika d_{nom} [mm]	8	10	12	16	20	24
Charakterystyczna nośność zmęczeniowa krawędzi betonu [kN]	$\Delta V_{Rk,c,0,\infty} = 0,5 \cdot V_{Rk,c}^{1)}$					
Współczynnik przekazywania obciążzeń dla grupy łączników ψ_{FN} [-]	0,50					

¹⁾ $V_{Rk,(cp,c)}$ patrz → Załącznik C odpowiedniej Europejskiej Oceny Technicznej wydanej dla odnośnego patronu Hilti oraz żywic iniekcyjnych oraz norma EN-1992-4.

Tabela C6: Podstawowe charakterystyki dla kombinowanego obciążenia zmęczeniowego w betonie (Metoda projektowania II według Raportu TR 061)

HIT-HY 200-A V3, HIT-HY 200-R V3, HIT RE 500 V4 oraz HVU2 z prętem HAS-U A4...	M8	M10	M12	M16	M20	M24
Wykładnik potęgi dla kombinowanego obciążenia zmęczeniowego $\alpha_s = \alpha_{sn}$ [-]	0,50				0,70	
α_c [-]	1,5					

System iniekcyjny Hilti HIT-HY 200-A V3, HIT-HY 200-R V3, HIT RE 500 V4 oraz patron z żywicą HVU2 z prętem HAS-U

Charakterystyki

Podstawowe charakterystyki pod wpływem obciążenia zmęczeniowego rozciągającego, ścinającego i kombinowanego w betonie (Metoda projektowania II według Raportu Technicznego TR 061)

Załącznik C3